

МОСКОВСКИЙ ГОСУДАРСТВЕННЫЙ УНИВЕРСИТЕТ
имени М.В. ЛОМОНОСОВА

На правах рукописи

Краснова Елизавета Андреевна

Изотопная геохимия углерода и кислорода для решения задач поисково-разведочных работ на нефть и газ

1.6.11. Геология, поиски, разведка и эксплуатация нефтяных и газовых месторождений

АВТОРЕФЕРАТ
диссертации на соискание ученой степени
доктора геолого-минералогических наук

Москва – 2025

Диссертация подготовлена на кафедре геологии и геохимии горючих ископаемых геологического факультета МГУ имени М.В.Ломоносова

Научный консультант: *Ступакова Антонина Васильевна*, доктор геолого-минералогических наук, доцент

Официальные оппоненты:

Габдуллин Руслан Рустемович, доктор геолого-минералогических наук, доцент, «Московский государственный университет имени М.В. Ломоносова», геологический факультет, кафедра региональной геологии и истории Земли, профессор

Нургалиев Данис Карлович, доктор геолого-минералогических наук, профессор, «Казанский (Приволжский) федеральный университет», проректор по направлениям нефтегазовых технологий, природопользования и наук о Земле

Пунанова Светлана Александровна, доктор геолого-минералогических наук, Институт проблем нефти и газа РАН, лаборатория ресурсной базы нефтегазового комплекса, главный научный сотрудник

Защита диссертации состоится « 20 » февраля 2026 г. в 14 часов 30 минут на заседании диссертационного совета МГУ.016.8 Московского государственного университета имени М.В.Ломоносова по адресу: 119991, г. Москва, Ленинские горы, д. 1, МГУ имени М.В.Ломоносова, Геологический факультет, ауд. А-621.

E-mail: poludetkinaelena@mail.ru

С диссертацией можно ознакомиться в отделе диссертаций научной библиотеки МГУ имени М.В. Ломоносова (Ломоносовский просп., д. 27) и на портале <https://dissovet.msu.ru/dissertation/3733>.

Автореферат разослан «___» декабря 2025 г.

Ученый секретарь
диссертационного совета МГУ.016.8,
кандидат геолого-минералогических наук

Е.Н. Полудеткина

ОБЩАЯ ХАРАКТЕРИСТИКА РАБОТЫ

Актуальность исследования.

В современной нефтяной геологии изотопно-геохимические исследования приобретают особую значимость как инструмент решения фундаментальных и прикладных задач. В условиях перехода от локальных моделей отдельных месторождений к интегральному анализу углеводородных систем особую важность приобретает надёжная стратиграфическая привязка нефтегазоматеринских толщ, детализация седиментационной цикличности и построение высокоточных флюидодинамических моделей. Привлечение изотопного анализа углерода и кислорода в породах, органическом веществе (ОВ), углеводородных (УВ) флюидах и пластовых водах позволяет формировать вещественно согласованную во времени основу, необходимую для межрегиональных и межбассейновых сопоставлений и уточнения моделей функционирования углеводородных систем.

Развитие методик изотопных исследований и совершенствование технологической базы создали предпосылки для массового получения данных об изотопном составе лёгких элементов органических соединений. Это, в свою очередь, привело к накоплению значительного объёма информации, что требует её систематизации и обобщения для формирования современной научной базы. Такая база должна опираться не только на развитую аналитическую инфраструктуру, но и на актуальные теоретические концепции, обеспечивающие интерпретацию и применение полученных данных. Качественная интерпретация изотопно-геохимических данных требует разработки критериев их применимости, а комплексное использование вместе с геолого-геофизическими методами увеличивает достоверность создаваемых геологических моделей.

Сохраняется ряд принципиально важных проблем, требующих развития изотопно-геохимического подхода. 1. Складчато-надвиговое строение Крымско-Кавказского региона и юго-востока Сибири значительно усложняет геологическое картирование и стратиграфическую корреляцию для выбора оптимальной стратегии при поисках нефтяных и газовых месторождений. Привлечение современных хемостратиграфических методов в комплексе с геологическими данными существенно сокращает ограничения на возраст и длительность накопления осадочных пород, позволяя коррелировать «немые» осадочные толщи. 2. Несмотря на многократно показанную взаимосвязь между палеогеографическими условиями, циклами осадконакопления и характеристиками ОВ, до настоящего времени отсутствовали комплексные широкомасштабные исследования, основанные на

сопоставлении результатов выделения тонкой цикличности и изотопно-фракционного анализа битумоидов, включающие многочисленные верифицированные исследования. По полноте геолого-геофизической изученности и наличия репрезентативного материала юрские разрезы Западной Сибири являются одним из лучших примеров, на которых возможно проследить закономерности изменения изотопно-фракционного состава битумоидов в зависимости от условий образования ОВ. 3. Корреляция ОВ и газовых УВ рассматривается как один из ключевых инструментов прогноза и свойств потенциальной нефтегазоматеринской толщи. Несмотря на значительный объём работ по изучению углеводородных газов, в отдельных регионах остаются недостаточно разработанными вопросы установления источников приповерхностных газопоявлений, что необходимо для верификации бассейновой модели. В этом отношении газы сипов Крыма и газопоявления в разрезах Западной Сибири представляют собой естественные полигоны для изучения углеводородных систем и уточнения флюидодинамических моделей. 4. Реконструкция флюидодинамических систем опирается на детальный анализ пород, ОВ и углеводородных флюидов. Совершенствование подходов и этапности изучения нефтегазоносных систем за счёт привлечения изотопного состава флюидов различного генезиса позволяет детализировать разрабатываемые флюидодинамические модели.

Систематизация изотопно-geoхимических данных, обоснование информативных изотопных маркеров, фиксирующих строение и функционирование углеводородных систем, и их целенаправленное применение при стратификации разрезов, анализе седиментационной цикличности, geoхимической типизации ОВ и флюидодинамических реконструкциях расширяют спектр решаемых задач и повышают эффективность геолого-разведочных работ на нефть и газ, что и определяет актуальность настоящего исследования.

Цели и задачи исследования Целью работы является систематизация и применение изотопно-geoхимических данных для повышения эффективности решения прикладных задач нефтяной геологии. Для достижения поставленной цели решались следующие задачи:

1. Определить изотопно-geoхимические критерии на основе изотопных отношений углерода в органическом веществе, углерода и кислорода в породе и флюидах для решения задач поиска и разведки месторождений нефти и газа.
2. Применить изотопные маркеры углерода и кислорода в породах для выделения реперных геологических горизонтов, пригодных для локальной и региональной корреляции разрезов осадочных бассейнов.

3. Использовать изотопные маркеры углерода органического вещества для определения возможных источников углеводородов и их привязки к условиям осадконакопления в разрезе осадочного бассейна.

4. Применить изотопные маркеры углерода углеводородных флюидов для их корреляции по разрезу и площади, а также для сопоставления с возможными источниками их образования.

5. Использовать изотопные маркеры углерода в органическом веществе, углерода и кислорода в породах и флюидах для оценки флюидодинамических связей в пределах отдельных месторождений и степени влияния вторичных термогенных процессов на изменение изотопных характеристик в разрезе осадочного чехла.

Фактический материал и личный вклад автора. Фактическую основу диссертации составляют данные, собранные автором в 2015–2025 гг. в рамках сотрудничества с научными и производственными организациями по комплексному изучению нефтегазоносности недр. Целью большинства работ был прогноз нефтегазоносности отдельных участков осадочных бассейнов. Изотопно-геохимический анализ применялся в комплексе методов, подтверждая результаты стандартных методов интерпретации геолого-геофизических данных. Выводы, полученные при интерпретации изотопных маркеров, верифицировались геолого-геохимическими результатами и проверялись на соответствие существующим геолого-геофизическим моделям. Образцы пород, ОВ, УВ-флюидов и пластовой воды для изотопно-геохимических исследований, представленных в работе, были отобраны автором лично или совместно с коллегами, с учётом критериев пригодности материала для выделения и анализа изотопных маркеров. Образцы карбонатов палеогеновых отложений Крыма предоставлены Е.А. Лыгиной и Н.В. Правиковой (МГУ), меловых отложений Северо-Западного Кавказа — Е.В. Яковшиной и С.И. Бордуновым (МГУ), кембрийских отложений Сибирской платформы — В.Э. Павловым (ИФЗ РАН). Образцы газов Ямбургского нефтегазоконденсатного месторождения были предоставлены В.С. Якушевым и Н.Р. Аветовым (Губкинский университет), черноморских мелководных метановых сипов – Малаховой Т.В., Будниковым А.А., Ивановой И.Н. и Мурашовой А.И. (ФИЦ ИнБЮМ, МГУ), отобранные в рамках проекта РНФ № 23-27-00379.

На всех этапах комплексных исследований автор выступал как организатор, руководитель и непосредственный исполнитель изотопно-геохимических работ, осуществлял интерпретацию данных, адаптацию существующих методик к геологическим моделям и формулировал выводы. Конкретные объекты исследования приведены в соответствующих главах. В результате проанализировано

более 2000 образцов пород, ОВ и флюидов из различных регионов России и зарубежных стран. Автором сформированы коллекции изотопных маркеров по разным осадочным бассейнам и комплексам, отличающимся геологическими условиями формирования.

Научная новизна. Предложенный в работе подход к оценке критериев применимости изотопных маркеров углерода и кислорода для повышения достоверности результатов поисково-разведочных работ на нефть и газ позволил продемонстрировать высокую информативность изотопного анализа стабильных элементов ОВ и пород углеводородных систем в качестве индикатора ключевых геологических событий и процессов формирования скоплений углеводородов.

Впервые на основе изотопных маркеров кислорода и углерода уточнена стратификация отдельных разрезов Крыма, Северо-Западного Кавказа и Восточной Сибири и выполнена их хемостратиграфическая калибровка по глобальным изотопно-геохимическим событиям, что создало основу и принципиальную возможность её использования при анализе нефтегазоматеринских толщ смежных интервалов и бассейнов.

Развиты представления о применении изотопно-фракционного анализа битумоидов для реконструкции условий осадконакопления: впервые для юрских отложений Западной Сибири изотопно-фракционный состав разнополярных фракций битумоидов сопоставлен с детальной седиментационной цикличностью разреза. Показано, что изменчивость изотопно-фракционных кривых систематически отражает смену трансгрессивно-регрессивных циклов осадконакопления. Апробирование указанного подхода на верхнеюрских отложениях Баренцевоморского шельфа позволило продемонстрировать воспроизводимость выявленных для юрских отложений Западной Сибири закономерностей на примере другого осадочного бассейна и выделить однотипные группы изотопно-фракционных кривых битумоидов, соответствующие сходным палеогеографическим условиям захоронения исходного ОВ.

На основе комплексного геолого-геофизического, литологического и геохимического изучения собранной уникальной коллекции пород хадумского горизонта Предкавказья детализированы лито-фациальные характеристики и расширены представления о латеральной изменчивости ОВ Крымско-Кавказского региона. Новым положением в исследовании современных мелководных метановых сипов в бухте Ласпи Черного моря являлось изучение изотопно-геохимических характеристик с учетом гидрологической обстановки. Впервые решалась задача изучения временной динамики изотопных параметров ($\delta^{13}\text{C}_{\text{CH}_4}$ и $\delta^{13}\text{C}_{\text{C}_2\text{H}_6}$) и

компонентного состава пузырькового газа на сезонном и суточном масштабах времени. Предложен и апробирован методический подход для диагностики природы углеводородных газов, основанный на отборе газа, естественно выделяющегося из керна, обеспечивающий получение стратиграфически привязанных характеристик углеводородных флюидов к керновому интервалу.

Защищаемые положения:

1. Интеграция детализированного изотопно-геохимического подхода (порода–ОВ–флюид) в процессы геологоразведочных работ в сочетании с геолого-геофизическими методами повышает детальность и надежность геологических прогнозов при решении задач стратификации и анализа цикличности строения разреза, типизации источников генерации флюидов, оценки миграции углеводородов и построения флюидодинамических моделей.

2. Экскурсы изотопных отношений углерода и кислорода в карбонатных отложениях соответствуют проявлениям глобальных климатических событий: в верхнекембрийских отложениях Сибирской платформы — геохимическим аномалиям SPICE и ТОСЕ; в сеноман–туронских отложениях Крыма — океаническому аноксическому событию ОАЕ-2; в пограничных турон–коньякских отложениях Северо-Западного Кавказа — кратковременным похолоданиям; в эоценовых отложениях Крыма — повышенному температурному фону периода формирования нуммулитовой банки.

3. Изотопно-фракционный состав углерода битумоидов юрских отложений Западно-Сибирского бассейна служит индикатором условий осадконакопления. Последовательная смена генетических типов отложений, формировавшихся в аллювиально-озёрных, мелководных и глубоководных морских условиях, фиксируется в соответствующем обогащении лёгким изотопом углерода ^{12}C органического вещества. Связь изотопно-фракционного состава углерода битумоидов с генетическими типами отложений, прослеженная в верхнеюрских отложениях Западно-Сибирского и Баренцевоморского бассейнов, подтверждает сходство обстановок осадконакопления в этих регионах в соответствующие геологические периоды.

4. Использование изотопных маркеров углерода газов позволяет установить их природу и проследить связь газовых флюидов из различных горизонтов осадочного чехла. Изотопные характеристики газов, полученных из бухты Ласпи Чёрного моря, указывают на их термогенное происхождение и миграцию к поверхности из более глубоких горизонтов. Для залежей Ямбургского месторождения изотопный состав газов свидетельствует о трёх источниках генерации: сеноманском, валанжинском и

микробиальном приповерхностном. Изотопный состав газов баженовского горизонта юга и центра Западной Сибири соответствует газам, сгенерированным баженовской нефтегазоматеринской толщей, а также газам, мигрировавшим из более глубоких комплексов.

5. Изотопно-геохимическая характеристика образцов пород и флюидов на месторождении Красноленинского свода подтверждает флюидодинамическую связь углеводородов в отдельных залежах викуловской свиты и доюрского комплекса с органическим веществом баженовской свиты, а также свидетельствует о термическом преобразовании исходного органического вещества.

Практическая значимость. Практическое применение изотопно-геохимических исследований состава изотопов углерода и кислорода породы, ОВ, УВ-флюидов и воды позволяет существенно расширить комплексный анализ процессов нефте- и газообразования, а также функционирования всех элементов углеводородной системы. Аномалии изотопного состава лёгких элементов служат надёжными маркерами для фиксации реперных стратиграфических границ, используемых при корреляции геологических разрезов, отслеживании смены обстановок осадконакопления и выделении различных генетических групп отложений. Изотопные маркеры различных типов флюидов (УВ, вода) и ОВ из разных нефтегазоносных комплексов являются достоверным критерием для построения флюидодинамических моделей различного масштаба. Выявленные закономерности изотопных характеристик ОВ верхнеюрских отложений Западно-Сибирского и Баренцевоморского осадочных бассейнов имеют ключевое значение для понимания процессов нефтегазообразования и способствуют оценке нефтегазоносного потенциала изучаемых регионов. Полученные автором изотопно-геохимические показатели уточняют и дополняют существующие модели условий и масштабов генерации углеводородов на исследуемой территории, что позволяет более точно оценивать перспективы нефтегазоносности.

Материалы и результаты работы используются в учебном процессе и включены в программы курсов «Фракционирование лёгких стабильных изотопов в геологии и геохимии», «Нетрадиционные источники углеводородов», «Микроэлементы нефти, сланцев и углей осадочных бассейнов», «Бассейновый анализ при поисках углеводородов», «Геохимия горючих ископаемых (доп. главы)» для студентов бакалавриата и магистратуры геологического факультета МГУ имени М.В.Ломоносова.

Достоверность разработанных критериев и полученных результатов была подтверждена в ходе комплексных научно-исследовательских работ, где изотопно-

геохимические методы выступали дополнительным инструментом для верификации выводов, полученных другими методами. Впервые апробирована методика использования изотопных критериев для уточнения флюидодинамической модели залежей на Каменном месторождении Красноленинского свода, где по изотопному составу углерода ОВ, воды и углеводородов установлена гидродинамическая связь залежей в различных горизонтах осадочного чехла. Полученные выводы об источнике углеводородов и возможных путях их миграции вдоль основного разлома, секущего весь комплекс осадочных пород, были подтверждены литолого-геохимическими и геолого-геофизическими методами. Результаты хемостратиграфических исследований ($\delta^{13}\text{C}$ и $\delta^{18}\text{O}$) на примере карбонатных разрезов подтверждались палеонтологическими, литолого-геохимическими методами, результатами U-Pb-датирования дегритовых цирконов и корреляцией с палеомагнитными исследованиями. Результаты, полученные с использованием маркеров изотопного состава углерода органических соединений, были верифицированы с помощью дополнительных геохимических методов (биомаркерного анализа, пиролитических исследований и другие).

Достоверность изотопно-геохимических исследований обеспечивается формированием представительной коллекции фактического материала, использованием современного оборудования для масс-спектрометрии лёгких газообразующих элементов и аттестацией по международным стандартам. Надёжность полученных результатов подтверждается их хорошей корреляцией с данными, полученными независимыми методами. Основные результаты работы опубликованы в рецензируемых изданиях.

Апробация результатов и публикации. По теме диссертации опубликовано 29 научных работ, из них 25 статей – в рецензируемых научных изданиях, рекомендованных для защиты в диссертационном совете МГУ по специальности и отрасли наук. Основные результаты исследований докладывались на всероссийских и международных конференциях.

Структура и объем работы. Диссертация изложена на 247 страницах и состоит из введения, шести глав и заключения. В работе представлен 81 рисунок, 8 таблиц, библиографический список включает 461 источник, из которых 289 на иностранных языках.

ОСНОВНОЕ СОДЕРЖАНИЕ РАБОТЫ

Во введении изложена актуальность, сформулированы цели и задачи исследования, представлены фактический материал и личный вклад автора,

отражены научная новизна, положения, выносимые на защиту, практическая значимость, степень достоверности и апробация результатов.

ГЛАВА 1. СОВРЕМЕННОЕ СОСТОЯНИЕ ИЗОТОПНОЙ ГЕОХИМИИ ДЛЯ РЕШЕНИЯ ЗАДАЧ НЕФТЯНОЙ ГЕОЛОГИИ

Изотопная геохимия в настоящее время становится неотъемлемой частью современных геолого-геохимических исследований, позволяя решать задачи разных этапов ГРР от стратиграфической корреляции разрезов на региональном этапе изучения бассейна, до генетической типизации ОВ и реконструкции флюидодинамических систем на этапах поиска и разведки месторождений нефти и газа (Рисунок 1).

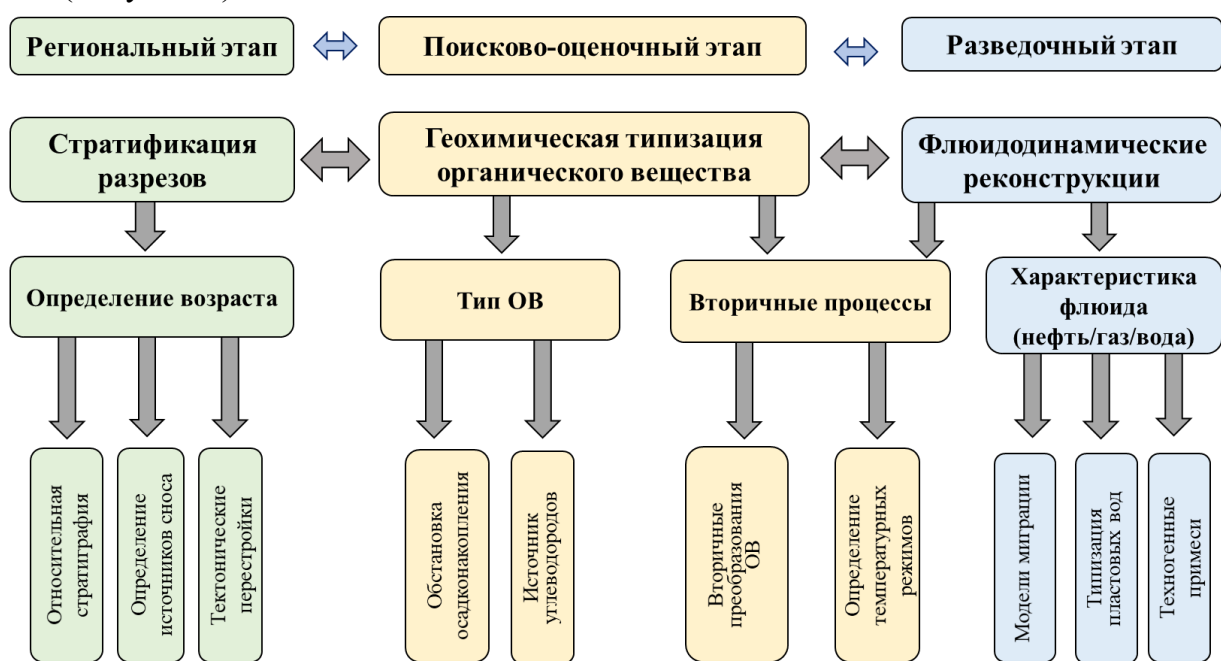


Рисунок 1. Основные направления использования изотопных маркеров для решения задач в нефтегазовой геологии.

Изотопный анализ отношений органического и карбонатного углерода с кислородом ($\delta^{13}\text{C}$ – $\delta^{18}\text{O}$) используется как эффективный инструмент для стратиграфических исследований. С помощью изотопных маркеров выделяются и прослеживаются реперные уровни, которые служат основой для создания структурных карт. Изотопные маркеры $\delta^{13}\text{C}$ – $\delta^{18}\text{O}$ эффективны для внутри- и межконтинентальных корреляций разновозрастных отложений, особенно если бедна их фаунистическая характеристика. Перспективным направлением является корреляция разрезов по изотопным маркерам в высокоуглеродистых формациях (Schlader S. и др., 1976; Юдович Я.Э. и др., 1988; Dickens G. et al., 1995; Hayes J. et al., 1999).

Комплексный изотопно-геохимический анализ активно используется для генетической типизации ОВ, что позволяет устанавливать связь с условиями диа- и

катагенеза, возрастом отложений и миграционными процессами УВ (Silverman S. et al., 1958; Bokhovenly C. et al., 1966; Катченков С.М., 1970; Stahl W.J., 1977; Schoell M., 1983; Sofer Z., 1984; Галимов Э.М., 1986; Clayton C., 1991; Sofer Z., 1991; Whiticar M., 1994a; Mansuy L. et al., 1997; Whiticar M., 1999a; Odden W. et al., 2002; Galimov E.M., 2006; Melezlik V.A. et al., 2007; Philp R.P. et al., 2012 и другие). Большой вклад в изучение изотопного состава $\delta^{13}\text{C}$ нефти и ОВ Западной Сибири внесла научная школа А.Э. Конторовича, демонстрируя широкие вариации состава и свойств ОВ и связь с фациально-генетической обстановкой (Конторович А.Э., Богородская Л.И., Голышев С.И., 1985; Конторович А.Э. и др., 1986). Прорывом в этой области стал переход к изотопно-фракционному анализу, который, в отличие от анализа валового ОВ, обеспечивает более надежную генетическую диагностику отложений и флюидов, позволяя выявлять процессы смешения, степень зрелости материнского ОВ и отслеживать признаки миграционных процессов (Галимов Э.М., 1973а, 1981; Кодина Л.А. и др., 1984; Галимов Э.М., 1986; Matsumoto R. et al., 2011). Кроме того, изотопный состав углерода является чувствительным индикатором постседиментационных преобразований, таких как биодеградация, термическое преобразование и окисление (Галимов Э.М., 1981, 1986). Взаимодействие флюидов с породами приводит к характерным изменениям изотопного состава как углеводородов, так и аутигенных минералов, что позволяет оценивать температурные режимы этих процессов (Lister C., 1972; Wheat C. и др., 2004; Beinlich A. et al., 2020). Взаимосвязь характеристик породы, ОВ и флюида позволяет изучать их генетические связи между собой (Franks S. et al., 2001; Dias R. et al., 2002; Tosqué E. et al., 2005). Анализ изотопного состава УВ, наряду с их другими геохимическими характеристиками позволяет прогнозировать связи между разновозрастными комплексами и оценивать перераспределение углеводородов при многоэтапном формировании залежей, в том числе по разломам.

Созданный в мировой практике задел исследования изотопного состава углерода и кислорода пород, ОВ и флюидов позволяет использовать их для решения задач поиска и разведки месторождений нефти и газа. Изучение особенностей вариаций изотопных маркеров в зависимости от генезиса вещества и его последующем преобразовании расширяет возможности применения изотопно-геохимических исследований в нефтяной геологии. Основная объединяющая идея диссертационной работы заключается в систематическом подходе к использованию изотопной геохимии углерода и кислорода на различных уровнях детальности нефтегазогеологического анализа. На первом региональном этапе изотопные данные применяются для хемостратиграфической корреляции разрезов, формируя

глобально согласованную временную основу. На втором поисково-оценочном этапе эта основа используется для геохимической типизации ОВ нефтегазоматеринских толщ в ключевых нефтегазоносных бассейнах, а на разведочном – для флюидодинамических реконструкций углеводородной систем.

ГЛАВА 2. МЕТОДИКА АНАЛИЗА ИЗОТОПНОГО СОСТАВА УГЛЕРОДА И КИСЛОРОДА.

Изотопные маркеры являются индикаторами геологических событий и процессов, протекающих при формировании нефти и газа. В связи с этим, важной составляющей изотопно-геохимических исследований является определение критериев изотопных маркеров, определяющих сохранность первичного материала и генетическую принадлежность изучаемого вещества.

Методика. Определение изотопного состава углерода и кислорода осуществлялось с учётом стандартных методик, не приводящих к фракционированию, а критерии выбора образцов зависели от цели исследования и в каждом конкретном случае прорабатывались индивидуально (Галимов Э.М., 1986; Torres M. et al., 2005; Yang L. et al., 2012). Отбор карбонатных образцов для изотопно-хемостратиграфического анализа осуществлялся с интервалом 0,5–1 метр в разрезах, предварительно датированных биостратиграфическими методами. Изотопные исследования ОВ проводились на основе комплексного анализа нефей и битумоидов, экстрагированных из кернового материала потенциально нефтегазоматеринских пород.

В работе предложена новая методика отбора газа непосредственно из закрытых керновых труб (Рисунок 2) для исследования изотопного состава углерода углеводородных компонентов. Данный подход позволяет проводить корреляцию изотопного и компонентного состава газа с литологическими характеристиками разреза, что существенно повышает детальность интерпретации. Отсутствие следов контаминации определялось по однородности изотопного состава по всей длине тубы.

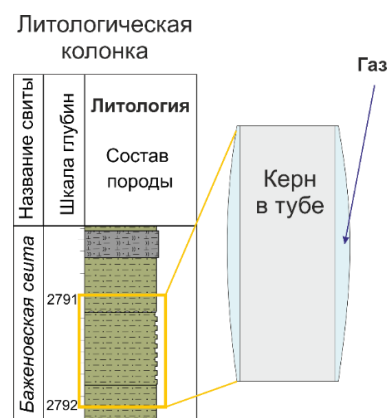


Рисунок 2. Методика отбора проб газа из закрытых труб с керном

Критерии достоверности. Для обеспечения достоверности полученных результатов была применена многоуровневая система отбраковки образцов, учитывающая возможное влияние вторичных процессов на изотопный состав

углерода. При стратификации разреза эффективность изотопно-геохимических исследований напрямую зависит от сохранности первичного материала и комплексной интеграции анализа результатов с литологическими, биостратиграфическими и магнитостратиграфическими данными (Рисунок 3).



Рисунок 3. Схема методического подхода анализа изотопных маркеров для стратификации разреза.

Контроль степени сохранности первичного карбонатного материала осуществлялся в разрезе по сохранности раковин фораминифер, отсутствию фоновых вариаций изотопных составов $\delta^{18}\text{O}$ и $\delta^{13}\text{C}$; анализу взаимосвязей химического состава пород (по данным РФА/XRF), а также сопоставлению изотопного состава кислорода с реконструированными значениями морской воды соответствующего интервала. Интерпретация полученных данных основывалась на анализе изотопных экскурсов, отражающих колебания концентрации углекислоты в системе «литосфера–атмосфера–гидросфера».

Для генетической типизации ОВ анализировался битумоид, разделённый на аналитические группы по полярности (Рисунок 4). Достоверность результатов обеспечивалась строгим контролем сохранности ОВ, который включал: контроль генетического единства (высокая корреляция $\delta^{13}\text{C}$ смол и асфальтенов (>0,7)), обогащение ароматической фракции тяжёлым изотопом относительно насыщенной, а также минимальное различие (до 1%) в $\delta^{13}\text{C}$ между гексановым и хлороформенным экстрактами, что исключало влияние миграционных флюидов (Галимов Э.М., 1986).



Рисунок 4. Схема методического подхода использования изотопных маркеров для анализа трансгрессивных-ретрессивной цикличности строения разреза.

Для построения флюидодинамических моделей в работе предложена и апробирована комплексная методика из пяти последовательных этапов (Рисунок 5). Полученные на всех этапах изотопные характеристики верифицировались независимыми геохимическими параметрами (биомаркерный анализ, макро- и микроэлементный состав, РЗЭ, литолого-геохимические данные, анализ флюидных включений и другие методы). На первых двух этапах определялась индивидуальная

характеристика компонентов системы: проводился изотопно-фракционный анализ битумоидов и углеводородов для типизации исходного ОВ и диагностики вторичных преобразований. На третьем этапе определялись изотопный ($\delta^{18}\text{O}$, DH) и химический состав воды для типизации флюидов по их генезису и степени вторичной преобразованности. Оценка флюидодинамической связанности осуществлялась на основе комплексного анализа всех флюидов (УВ, ОВ и воды). Температурные режимы оценивались с использованием геотермометров. Финальным этапом являлся синтез всех полученных данных (генезис, связь, температуры, вторичные процессы) в единую флюидодинамическую модель, объясняющую текущее распределение флюидов и прогнозирующую их поведение при разработке.

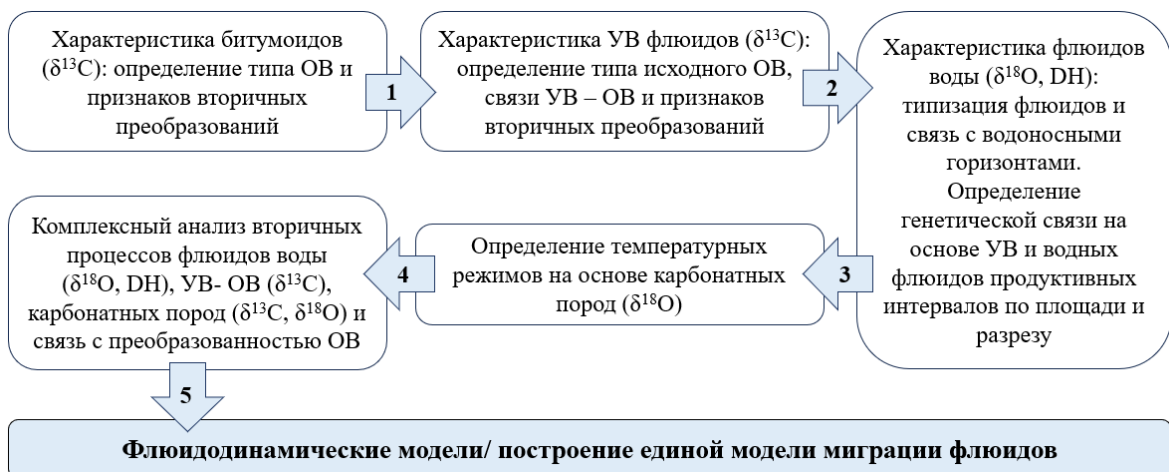


Рисунок 5. Флюидодинамические реконструкции. Методические подходы.

Использование изотопных маркеров для решения задач на разных этапах ГРР

Изотопные исследования ОВ, пород и флюидов широко применяются для оценки нефтегазоносности, типизации ОВ и миграции УВ. В работе предлагается расширить их использование в геологоразведке, что позволит повысить детальность и достоверность получаемых результатов.

На *региональном этапе ГРР*, основной целью которого является оценка геологического строения и нефтегазоносности осадочных бассейнов, изотопный анализ может быть применен как инструмент высокодетальной хемостратиграфической корреляции опорных разрезов. На *поисково-оценочном этапе ГРР*, направленном на обнаружение новых залежей УВ, изотопные исследования ОВ и флюида в совокупности с другими геохимическими исследованиями широко используются для определения и типизации НМТ, состава и свойств ОВ и миграции УВ флюидов. Изотопные маркеры легких элементов отражают генетический тип ОВ и, как следствие, палеогеографические условия его накопления, что позволяет судить о фациальной принадлежности отложений и

выделять трансгрессивно-регрессивных циклы осадконакопления. На *разведочном этапе ГРР*, основной задачей которого является детальное изучение месторождений для оптимизации их разработки, ключевую роль играет интеграция всех геологических данных в единую флюидодинамическую модель.

В главе были представлены методические подходы к проведению изотопно-геохимического анализа различных типов геологических образцов, используемых в нефтегазовой геологии, включая новую методику отбора газа из керновых труб. Продемонстрировано расширенное применение изотопных маркеров на всех этапах геологоразведочных работ. Показано, что комплексное использование изотопных данных (по породе, ОВ, флюидам) в интеграции с другими методами позволяет решать задачи стратификации, анализа цикличности, типизации источников и флюидов, оценки миграции и построения флюидодинамических моделей, повышая детальность и надежность прогнозов.

ГЛАВА 3. ИЗОТОПНЫЕ МАРКЕРЫ ДЛЯ СТРАТИФИКАЦИИ РАЗРЕЗОВ

В работе изотопные маркеры ($\delta^{13}\text{C}$, $\delta^{18}\text{O}$) использовались для реконструкции палеотемператур, солёности и биопродуктивности, что позволило выявить и проанализировать глобальные климатические изменения в геологическом прошлом. Применение современных методов изотопного анализа, в частности масс-спектрометрии изотопных отношений (IRMS), обеспечило высокую точность измерений (до $\pm 0,1\%$ для $\delta^{13}\text{C}$ и $\pm 0,2\%$ для $\delta^{18}\text{O}$) и позволило достоверно зафиксировать даже незначительные изотопные экскурсы, связанные с ключевыми климатическими событиями. Механизмы формирования изотопных экскурсов в фанерозое различны, что обуславливает необходимость индивидуального подхода к их анализу для каждой геологической эпохи.

Изотопная запись углерода в палеозое отражает сложную динамику глобального углеродного цикла, характеризующуюся чередованием периодов относительной стабильности и выраженных изотопных экскурсов. К числу наиболее значимых относятся положительный кембрийский экскурс в карбонатных разрезах SPICE (Steptoean Positive Carbon Isotope Excursion, ~495 млн лет, до $\delta^{13}\text{C} +5\%$), обусловленный усиленным захоронением изотопно-легкого органического углерода в осадках и обогащению неорганического углерода морской воды тяжелым изотопом, и отрицательный экскурс TOCE (Top of Cambrian carbon isotope Excursion, Event), связанный со снижением биоразнообразия вследствие массовых вымираний (Miller J. et al., 2006, 2014; Landing E. et al., 2011; Ripperdan R., 2002; Chen X. et al.,

2023). Эти аномалии имеют планетарное распространение, что позволяет коррелировать их с региональными и глобальными стратиграфическими рубежами и магнитостратиграфическими реперами (Pavlov et al., 2022).

В работе продемонстрировано использование изотопных маркеров на примере опорного разреза верхнекембрийских отложений р. Малой Чуи юга Сибирской платформы. Возраст разреза подтвержден редкими находками фауны (трилобиты, конодонты), результатами U-Pb-датирования дегритовых цирконов и корреляцией с палеомагнитными исследованиями (Pavlov V.E. et al., 2024; Gladkochub D.P. et al., 2022; Баякайте М.И. и др., 2019; Yadrenkina A.G. et al., 2010). На примере 192 образцов были выполнены детальные хемостратиграфические ($\delta^{13}\text{C}$ и $\delta^{18}\text{O}$) и магнитостратиграфические исследования «образец в образец». Полученные результаты (Рисунок 6) демонстрируют два выраженных изотопных экскурса: первый (широкий положительный) фиксируется в основании разреза со значениями $\delta^{13}\text{C}$ до +2,9‰, VPDB, и второй, достигающий минимума -2,3‰, VPDB, формирует выраженный отрицательный экскурс на границе ильгинской и устькутской свит.

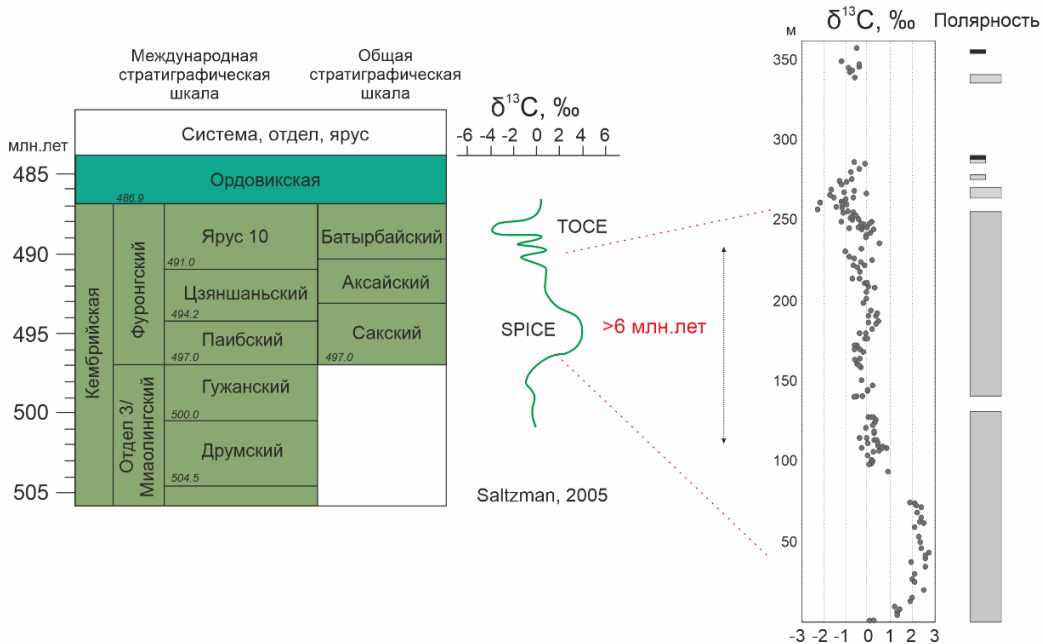


Рисунок 6. Результаты изотопного анализа углерода кембрийских отложений разреза правого берега р. Малая Чуя (Pavlov V.E., ... Krasnova E., et al., 2024). Мощность разреза указана в метрах. Международная хроностратиграфическая шкала, и общая стратиграфическая (геохронологическая) шкала (Постановления Межведомственного стратиграфического комитета и его постоянных комиссий, 2019; Gradstein F. et al., 2020).

Анализ изотопных маркеров $\delta^{13}\text{C}$, палеомагнитных данных и сопоставление с глобальными изменениями $\delta^{13}\text{C}$ позволили подтвердить и детализировать записи геохимических аномалий SPICE и TOCE (Баякайте М.И. и др., 2019; Gradstein F. et

al., 2020; Pavlov V.E. et al., 2024). Более того, результаты вариаций $\delta^{13}\text{C}$ позволили уточнить возрастной диапазон формирования изученного разреза: от ~497–496 до ~490 млн лет назад, что свидетельствует о продолжительности накопления не менее 6 миллионов лет.

Изотопная запись углерода в мезо-кайнозойское время характеризуется выраженным экскурсами, тесно связанными с океаническими аноксическими событиями (ОАЕ) и биосферными кризисами. Одно из подобных событий (ОАЕ-2) прослеживается в верхнесеноман-нижнетуронских отложениях, характеризующееся высокими концентрациями органического углерода (TOC = от 1–2 до 20%) и положительным экскурсом изотопного состава углерода ($\delta^{13}\text{C}$) (Scholle P. et al., 1980; Arthur M. et al., 1987, 1988).

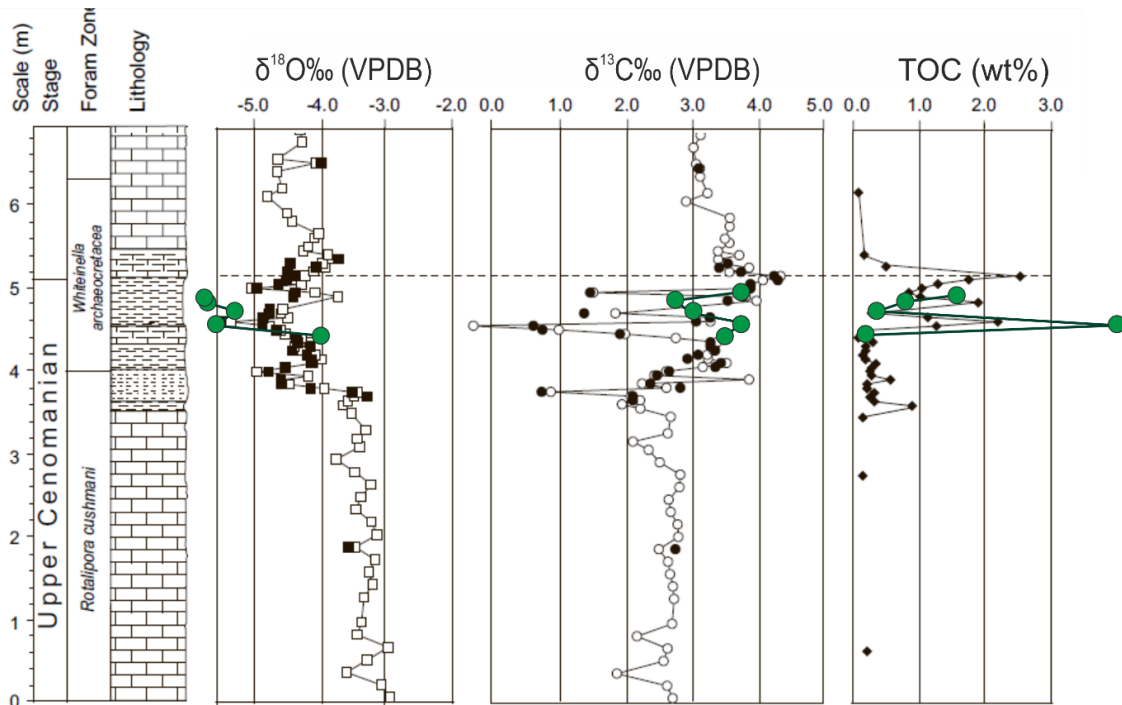


Рисунок 7. Сравнительная характеристика изотопных составов углерода и кислорода и содержания ОВ сеноман-туронских отложений в изученном разрезе (зеленый маркер) и данных Крымских разрезов (черный и белый маркеры) (Fisher J. et al., 2005) по (Латыпова М.Р., ... Краснова Е.А. и др., 2019b, 2020 с дополнениями).

Пример идентификации подобной границы выполнен на основе изотопно-геохимических исследований разреза по реке Биюк-Карасу в Центральном Крыму, что позволило подтвердить его приуроченность к глобальному аноксическому событию ОАЕ-2. Стратификация разреза осуществлялась с использованием комплекса фораминифер и детальной литолого-геохимической характеристики отложений (Латыпова М.Р. и др., 2019а).

В результате комплексного анализа были выделены пять типов прослоев, среди которых прослои 1 и 4 отличались наиболее тёмной окраской, полным исчезновением фораминифер рода *Rotalipora*, повышенными значениями $\delta^{13}\text{C}_{\text{CaCO}_3}$ (+4‰, VPDB), пониженными значениями $\delta^{18}\text{O}_{\text{CaCO}_3}$ (-7‰, VPDB) и высоким содержанием органического углерода ($\text{Corg} = 4,14 \text{ мас. \%}$). Полученные значения изотопного состава углерода и кислорода сопоставимы с ранее опубликованными данными по разрезам Горного Крыма и Восточного Кавказа (Рисунок 7) и характерны для отложений, сформировавшихся в бескислородной обстановке во время океанического аноксического события ОАЕ-2 (Найдин Д.П. и др., 1994; Fisher J. et al., 2005).

В течение всего фанерозоя глобальные климатические флюктуации, как правило, сопровождались положительными изотопными экскурсами в периоды оледенения и отрицательными — в периоды потепления (Brenchley P.J. et al., 1994; Marshall J.D. et al., 1997). Перестройки океанической циркуляции оказывали влияние на распределение кислорода и питательных веществ, что отражалось на продуктивности и захоронении органического углерода (Saltzman M.R. et al., 2005; Bergström S.M. et al., 2006, 2009, 2010). Например, на основе данных изотопного состава кислорода $\delta^{18}\text{O}$ карбонатов документально зафиксированы несколько значительных похолоданий в позднем туроне и существование ледников (Bornemann A. et al., 2008; Miller K. et al., 2005; Voigt S. et al., 2004; Stoll H. et al., 2000). Этот интервал подробно изучен на территории Восточно-Европейской платформы и в Крыму, а также представлен ограниченным количеством данных по Большому Кавказу (Гаврилов Ю.О. и др., 2009; Кораевич L.F. et al., 2016; Vishnevskaya V.S. et al., 2019; Zakharov Y.D. et al., 2018, 2020).

Продемонстрировано поведение изотопных маркеров в позднетуронское-раннеконьякское время в ходе колебания климата. Впервые проведены детальные реконструкции условий осадконакопления на основе комплексных литологических, биостратиграфических и хемостратиграфических исследований отложений натухайской свиты ($K_{2\text{nt}}$) Северо-Западного Кавказа (разрез Шапсугского карьера). Анализ 22 образцов из 80-метровой толщи позволил выделить четыре изотопные зоны, которые были успешно сопоставлены с известными глобальными событиями, зафиксированными в европейских разрезах (Рисунок 8, (Jenkyns H. et al., 1994; Gale A., 1996; Voigt S. et al., 1997; Wiese F., 1999; Jarvis I. et al., 2006; Walaszczyk I. et al., 2010). В разрезе были выделены четыре зоны по изотопным характеристикам: Зона 1 (верх среднего турона): фиксирует максимум $\delta^{13}\text{C}$ ($\delta^{13}\text{C}$ до 3‰, VPDB), коррелируемый с событием Pewsey Event.

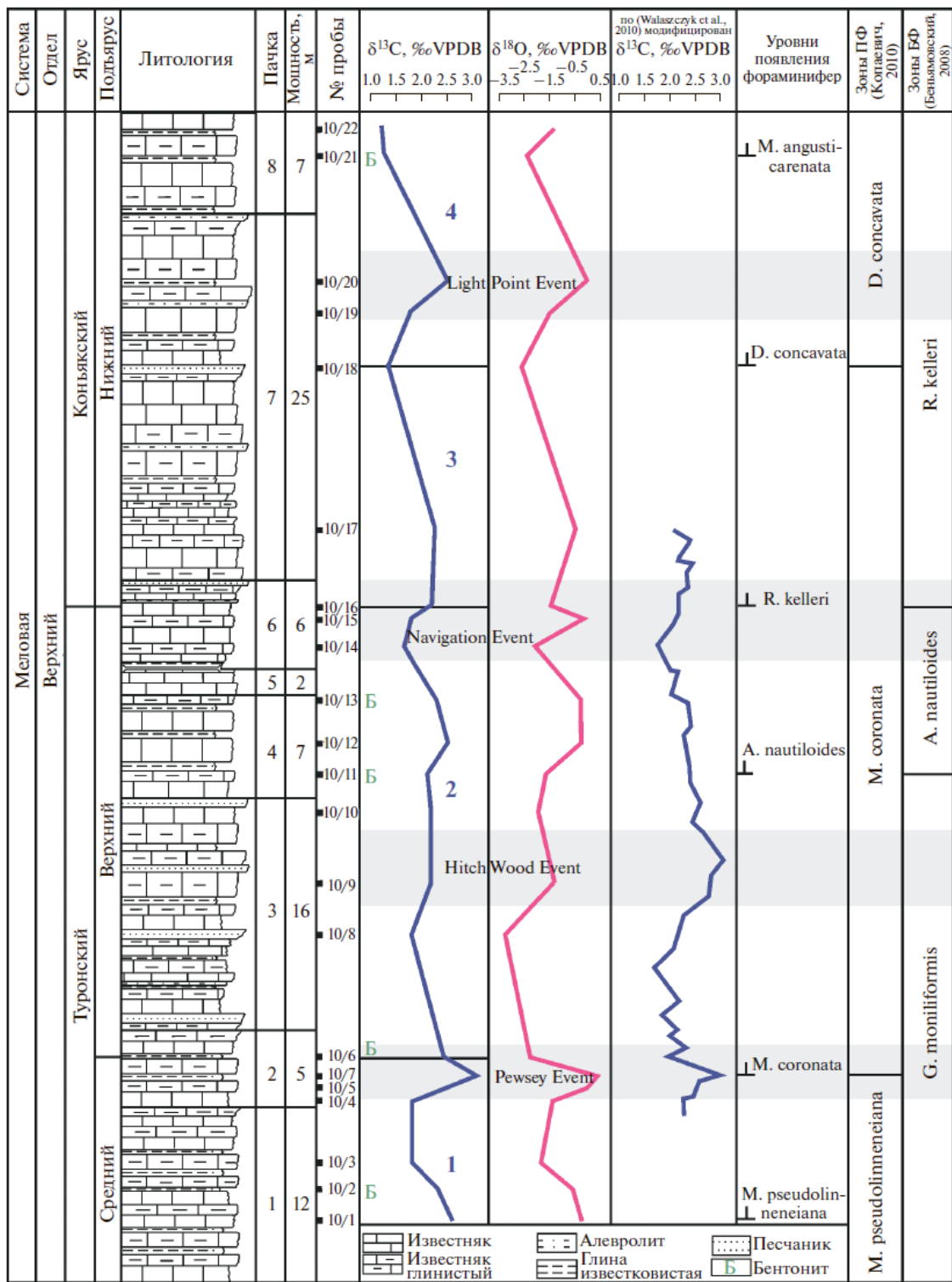


Рисунок 8. Изотопный состав $\delta^{13}C$ и $\delta^{18}O$. На кривой $\delta^{13}C$ выделены изотопные зоны 1–4 (Яковишина Е.В., ... Краснова Е.А. и др., 2022). Приведены названия изотопных событий, установленных в западно-европейских разрезах: Pewsey Event, Hitchwood (Hyphantoceras) Event, Navigation Event, Light Point Event. Б – прослои бентонитовых глин. Пояснения указаны в тексте.

Зона 2 (верхний турон): включает два ключевых маркера — Hitch Wood Event в основании ($\delta^{13}\text{C}$ до 2,3‰, VPDB) и Navigation Event ($\delta^{13}\text{C}$ до 1,5‰, VPDB), который

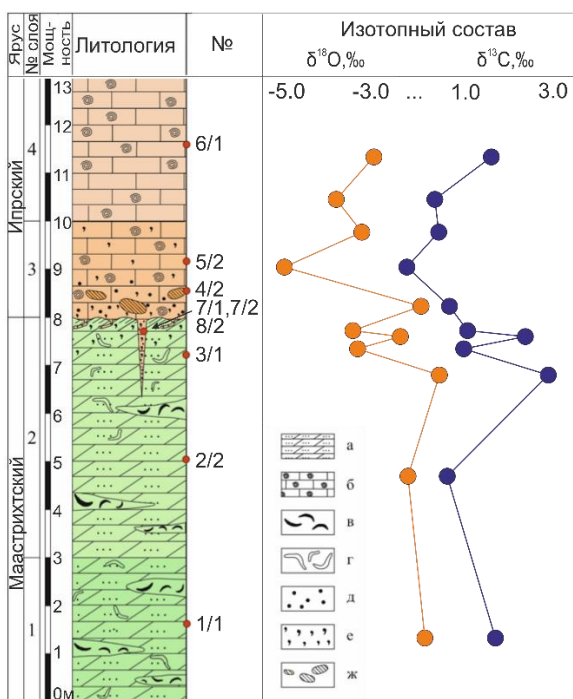
отмечает границу туронского и коньякского ярусов. *Зона 3* (нижний коньяк): характеризуется стабильно повышенным фоном значений $\delta^{13}\text{C}$. *Зона 4* (нижний коньяк): содержит максимум $\delta^{13}\text{C}$ ($\delta^{13}\text{C}$ до 2,5‰, VPDB), сопоставимый с событием Light Point Event. В изученном разрезе наблюдается так же чёткая корреляция изотопного отношения $\delta^{13}\text{C}$ и $\delta^{18}\text{O}$ с уменьшением палеотемператур, что связано с повышением биопродуктивности в бассейне на фоне пониженных температур (Галимов Э.М., 1986). Таким образом, комплексный подход позволил не только подтвердить стратиграфические границы (средний/верхний турон, турон/коньяк), но и реконструировать палеоклиматические изменения, сопоставив наблюдаемые $\delta^{13}\text{C}$ и $\delta^{18}\text{O}$ с изменениями изотопных составов углерода и кислорода в ходе палеоклиматических событий, установленных в разрезах Западной и Восточной Европы соответствующего возраста.

С позднего палеоцена (~58 млн лет назад) до раннего эоцена (~50 млн лет назад) на поверхности Земли наблюдалась тенденция к потеплению, достигшая максимума в течение раннеэоценового климатического оптимума (EECO, около 2 млн лет) (Bijl P. et al., 2009; Westerhold T., 2009; Zachos J. et al., 2007b, 2001). В этот период происходил ряд кратковременных событий глобального потепления (гипертермальных), сопровождавшихся выбросом в атмосферу углерода, обеднённого лёгким изотопом ^{12}C в круговороте океан-атмосфера (Lourens L. et al., 2005; Zachos J. et al., 2005; Nicolo M. et al., 2007; Kirtland Turner S. et al., 2013; Littler K. et al., 2014). Эти события фиксируются в морских и континентальных отложениях раннего палеогена как негативные экскурсы по $\delta^{13}\text{C}$ и $\delta^{18}\text{O}$.

В это же время в истории Крыма происходило общее прогибание территории и формирование пострифтового осадочного чехла в пределах мелководного шельфового бассейна (Никишин А.М. и др., 2006; Nikishin A.M. et al., 2015). На фоне основной фазы складчатости в Понтидах (северо-восток Турции) на территории Предгорного Крыма отмечаются предэоценовое угловое несогласие и периоды активизации тектонических движений (Ч Г.С.С.Р.К., 1969; Горбач Л.П., 1972; Горбач Л.П. и др., 1982; Воронина А.А., 1989; Никишин А.М. и др., 2006; Лыгина Е.А., 2009; Закревская Е.Ю., 2011; Nikishin A.M. et al., 2014).

Проведенные в настоящей работе комплексные литологические, биостратиграфические и изотопно-геохимические исследования пограничных мел-эоценовых отложений г. Ак-Кая (Центральный Крым) показали, что формирование базального горизонта эоцена приурочено к раннеэоценовому климатическому оптимуму и совпадало с фазой региональной тектонической активности и палеосейсмических событий в Понтидах. Анализ коллекции образцов мергелей

маастрихтского возраста (слои 1 и 2) и нуммулитовых известняков ипрского яруса (слои 3 и 4), залегающих с несогласием (Рисунок 9), выявил различие в условиях их формирования: маастрихтовые породы формировались при температурах 19–22 °C, а эоценовые — при повышенных температурах до 33 °C, согласно $\delta^{18}\text{O}$ геотермометру (Бадулина Н.В. и др., 2016; Лыгина Е.А. и др., 2019, 2022).



Кровля маастрихтских пород нарушена системой трещин, заполненных материалом, по изотопному составу ($\delta^{18}\text{O}$) и соотношению Mg/Ca идентичному эоценовым отложениям (образцы 6/1, 7/1, 8/2). Отсутствие доломитизации и других магнезиальных минералов исключает влияние вторичных процессов, что позволяет интерпретировать повышенное соотношение Mg/Ca как отражение условий осадконакопления, аналогичных эоценовым отложениям. Схожие результаты получены при изучении разреза ипрских известняков горы Сувлу-Кая (Бахчисарайский район, юго-западный Крым), также приуроченного к ЕЕСО. Полученные средние температуры осадконакопления составили 31 °C (28–33 °C), что согласуется с глобальными реконструкциями (Evans D. et al., 2018).

Палеогеновый разрез в окрестностях Бахчисарайя является опорным для Европейской палеобиогеографической области (ЕПО) и важен для межрегиональных корреляций и построения стратиграфических шкал Тетиса (Коробков Н.А. и др., 1964; Закревская Е.Ю., 1993, 2005; King C. et al., 2018). В работе (Лыгина Е.А. и др., 2023) рассмотрена структура нижне- и верхнеипрских отложений (верх бахчисарайского и нижняя часть симферопольского регионарсов), на основе микрофациального анализа выделены три этапа ипрской трансгрессии с последующей регрессией. Разрез мощностью 18 м охарактеризован по

литологическому и минеральному составу, выделено пять слоёв: 1–4 относятся к бахчисарайскому, 5 — к симферопольскому региоярусу (Рисунок 10).

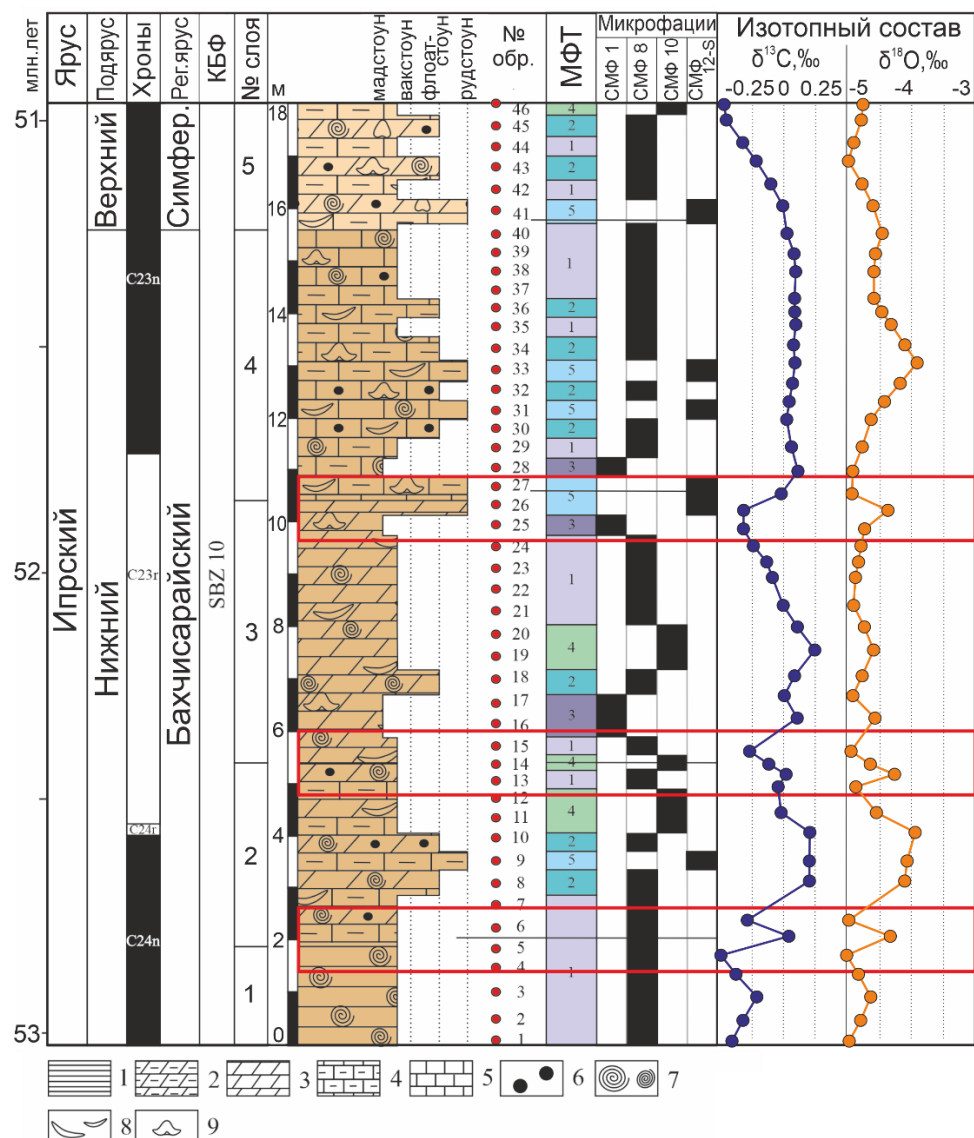


Рисунок 10. Результаты изотопного анализа углерода и кислорода ипрских отложений (симферопольского и бахчисарайского региояруса) разреза г. Сувлю-Кая (Лыгина Е.А., ... Краснова Е.А. и др., 2023 с дополнениями). Условные обозначения: 1 – глина, 2 – глинистый мергель, 3 – мергель, 4 – глинистый известняк, 5 – известняк, 6 – пиритовые конкреции, 7 – нуммулиты, 8 – двустворки, 9 – брахиоподы, КБФ – зона крупных бентосных фораминифер.

Проведённый комплексный изотопно-геохимический анализ позволил детализировать палеогеографические и климатические условия осадконакопления в карбонатных разрезах Крыма, уточнив этапы трансгрессий/регрессий позднего ипра эоцена и возраст базального эоценового горизонта, синхронного с палеосейсмическим событием. Подтверждено проявление ряда глобальных геохимических событий (ЕЕОС, ОАЕ-2, границы

Турон/Коньяк, среднего/верхнего Туриона, SPICE, TOCE) в изученных стратиграфических интервалах Крыма, Северо-Западного Кавказа и Восточной Сибири.

ГЛАВА 4. ЗАКОНОМЕРНОСТИ ИЗМЕНЕНИЯ ИЗОТОПНО-ФРАКЦИОННОГО СОСТАВА УГЛЕРОДА БИТУМОИДОВ КАК ИНДИКАТОРА УСЛОВИЙ ОСАДКОНАКОПЛЕНИЯ

Изотопно-фракционный состав углерода битумоидов служит индикатором условий захоронения, отражая генетический тип, состав и свойства ОВ. Выявленные закономерности изотопно-геохимических изменений в автохтонном ОВ позволяют устанавливать связь с генетическими типами отложений и определять сходство обстановок осадконакопления в соответствующие геологические периоды. В настоящей работе продемонстрирована закономерность изменения изотопно-фракционного состава углерода битумоидов от условий осадконакопления на примере юрских отложений Западно-Сибирского и Баренцевоморского нефтегазоносных бассейнов с целью создания генетической модели формирования ОВ в пределах единого осадочного бассейна.

Изотопно-геохимическая характеристика органического вещества пород юрских отложений Западной Сибири

Объектом исследования стала коллекция из более 400 образцов кернового материала, характеризующих юрские отложения северной и центральной части Западной Сибири — в пределах Красноленинского и Сургутского сводов, Уренгойского и Ямбургского валов, а также Гыданской зоны поднятий. Основой для выбора исследуемых полигонов и обеспечения репрезентативности образцов по фациальным условиям и генетическим типам отложений послужили карты, стратиграфические разрезы, профили и другие геологические материалы, опубликованные в Атласе для юрского комплекса отложений (Ступакова А.В.,... Краснова Е.А. и др., 2024).

Влияние фациальных обстановок на изотопный состав органического вещества

Изучение изотопного состава ОВ юрских отложений Западной Сибири показало зависимость его вариаций от фациальных обстановок, контролируемых региональной трансгрессивно-регрессивной цикличностью (Ступакова А.В.,... Краснова Е.А. и др., 2024). Цикличность, связанная с колебаниями уровня моря, отражается в смене генетических типов отложений, формирующихся на стадиях регрессии, платформенной стабильности и трансгрессии (Рисунок 11). Установление общих изотопно-фракционных кривых для однотипных отложений бассейна

свидетельствует о возможности применения изотопно-геохимических исследований для верификации трансгрессивно-регрессивных циклитов и фациальных зон осадочного бассейна. В связи с этим в работе был проведён анализ изотопных характеристик битумоидов юрских отложений, сформировавшихся в различных фациальных обстановках Западно-Сибирского бассейна.

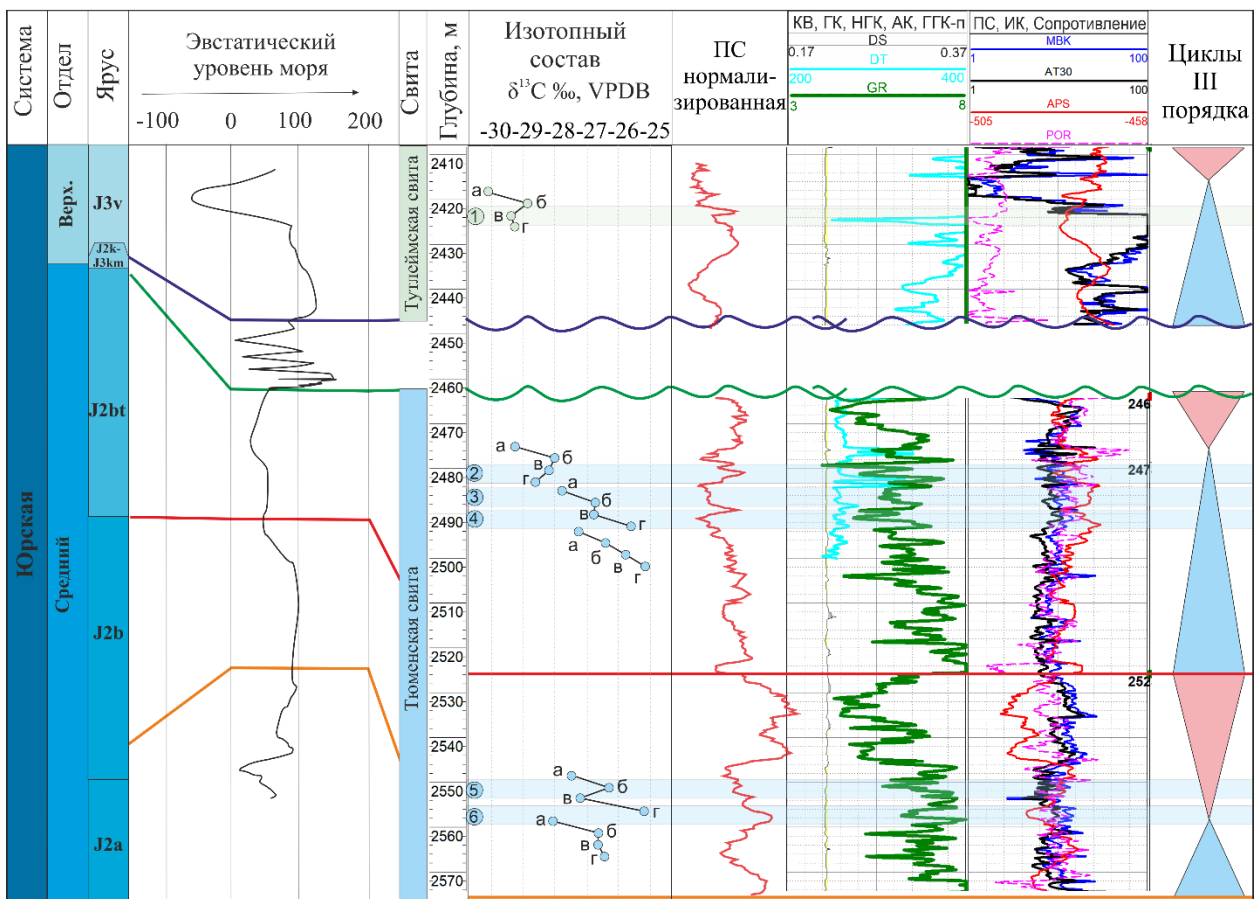


Рисунок 11. Корреляция изотопно-фракционных характеристик битумоидов с трансгрессивно-регрессивными циклитами юрских отложений Красноленинского свода (Краснова Е.А. и др., 2025). Элементы циклитов: голубой – трансгрессивный, красный – регрессивный. Вдоль шкал глубин цифрами отмечено положение образцов. Буквами отмечены фракции битумоидов: а – насыщенная фракция, б – ароматическая фракция, в – смолистая фракция, г – асфальтены.

Генезис органического вещества по изотопным маркерам

На основе изотопного анализа битумоидов выделены пять групп автохтонного ОВ юрских отложений (Г1–Г5), отражающих различные условия осадконакопления в пределах Фроловско-Шаймского, Ямало-Гыданского и Уренгойского фациальных районов (например, четыре группы Фроловско-Шаймского района, Рисунок 12).

Обогащение лёгким изотопом углерода отражает изменение типа ОВ, соответствующего условиям и глубинам морского бассейна. Вариации внутри каждой группы обусловлены как незначительными различиями в составе исходного ОВ, так

и степенью его преобразованности. В различных районах, характеризующихся единой фациальной обстановкой, выявлена общая форма изотопно-фракционных кривых.

Сводный литологический разрез юрских отложений
Фроловского и Шаимского фациального района

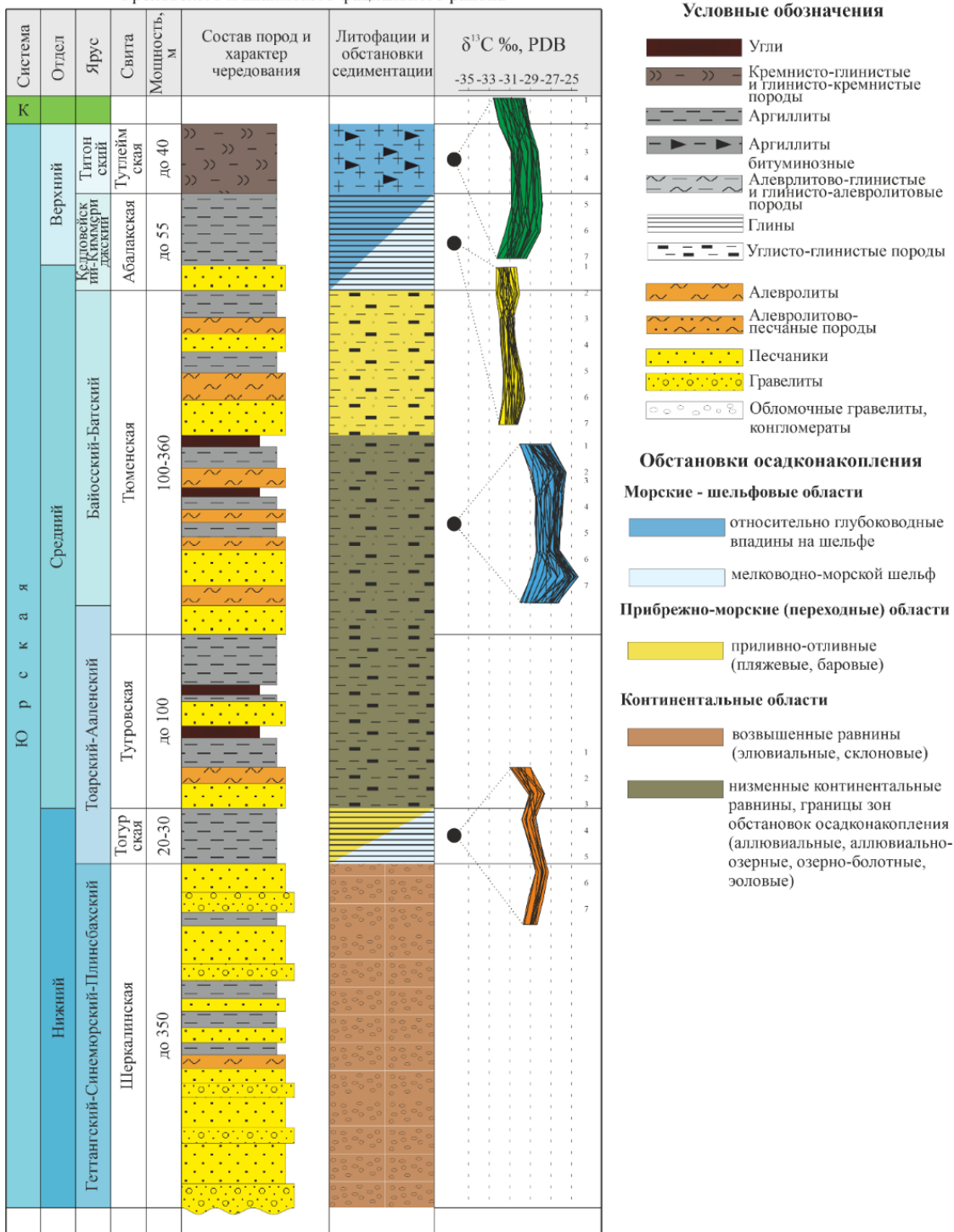


Рисунок 12. Группы изотопно-фракционных кривых битумоидов юрских отложений (Краснова Е.А. и др., 2025). Группы увязаны со сводным литологостратиграфическим разрезом отложений Фроловского и Шаимского фациальных районов (Ступакова А.В., ... Краснова Е.А. и др., 2024).

Таким образом, изотопно-фракционный анализ битумоидов юрского комплекса отложений позволил выявить закономерности изменения изотопного состава ОВ от смены условий осадконакопления в пределах Фроловско-Шаймского, Ямало-Гыданского и Уренгойского фациальных районов Западной Сибири.

Изотопно-геохимическая характеристика органического вещества пород верхнеюрско-нижнемелового комплекса Баренцевоморского региона

Использованный изотопно-фракционный анализ битумоидов для юрских отложений Западно-Сибирского нефтегазоносного бассейна был применён для оценки связи изотопно-геохимического состава ОВ с фациальными условиями его осадконакопления в Баренцевоморском бассейне. Привязка образцов осуществлялась к фациально-генетическим типам, представленным в работах (Grundvåg S.-A., Olausson S., 2017; Marin D. et al., 2017; Mordasova A.V. et al., 2024; Мордасова А.В., 2018 и другие). Проведенный анализ изотопно-фракционных кривых битумоидов 250 образцов верхнеюрских отложений позволил разделить две генетические группы, соответствующие трансгрессивному и регressiveному циклам осадконакопления. По мере приближения к максимуму трансгрессии наблюдается обогащение лёгким изотопом углерода всех фракций битумоида. Значения $\delta^{13}\text{C}$ керогена изменяются от $-25\text{\textperthousand}$, VPDB в основании циклита до $-32\text{\textperthousand}$, VPDB в его верхней части, что свидетельствует о возрастании сапропелевой составляющей в составе ОВ (Рисунок 13).

скв. 7321/9-1

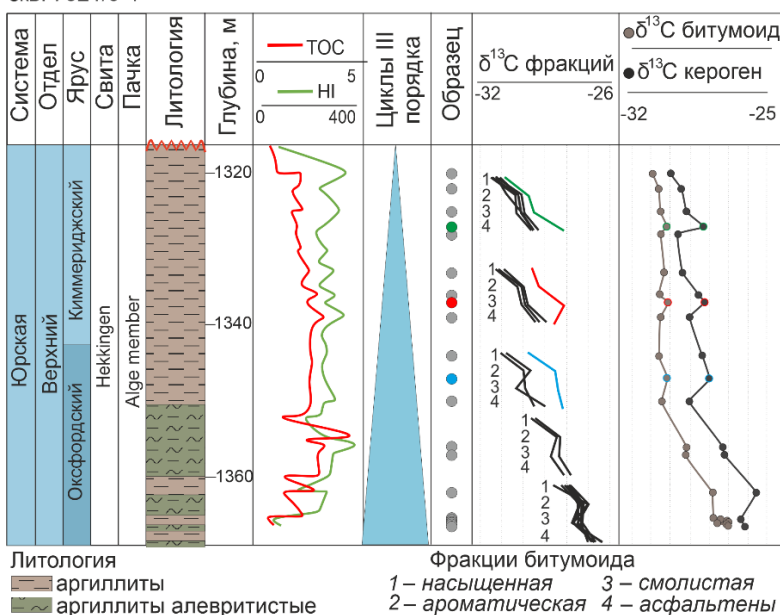


Рисунок 13. Корреляция изотопно-геохимических характеристик битумоидов в трансгрессивной части верхнеюрского циклита на западе Баренцевоморского осадочного бассейна.

В результате проведённого исследования верхнеюрских отложений Баренцевоморского региона была получена тесная взаимосвязь между седиментационной цикличностью и геохимическими особенностями изученных отложений.

Сопоставление изотопных характеристик битумоидов верхнеюрских отложений Западно-Сибирского и Баренцевоморского бассейнов

Выявленные генетические группы по изотопному составу углерода битумоидов для верхнеюрских отложений Западно-Сибирского и Баренцевоморского бассейнов были сопоставлены с целью оценки и сравнения условий их формирования. Обобщённые палеогеографические построения Баренцево-Карского региона в течение мезозойского этапа представлены на Рисунок 14.

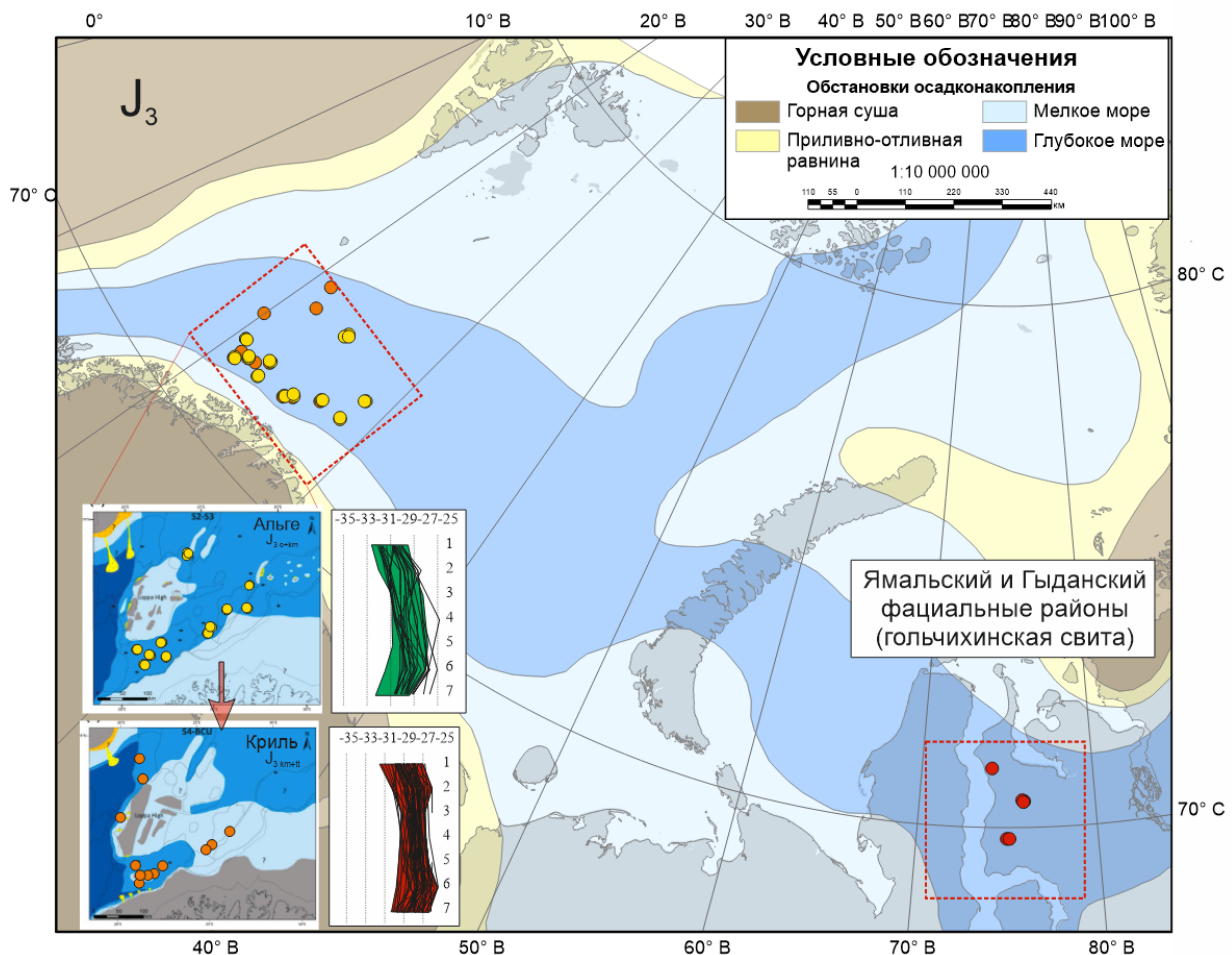


Рисунок 14. Модель истории развития юрских осадочных бассейнов Баренцево-Карского шельфа, J_3 – позднеюрское время (Суслова А.А., ... Краснова Е.А. и др., 2025). На схеме обозначены изученные образцы битумоидов: красные – Ямальской и Гыданской зоны, жёлтые – пачки Альге (трансгрессивной) и оранжевые – пачки Криль (регрессивной) формации Хеккинген. Врезки палеогеографических карт взяты из (Marin D. et al., 2017), на графиках изотопно-фракционных кривых полями показаны данные по Западной Сибири (зеленое поле – $J_{3\text{km}}$, красное поле – J_{2b}); чёрными линиями – битумоиды пачек Альге и Криль.

Сравнение изотопно-geoхимических характеристик верхнеюрских отложений Западно-Сибирского и Баренцевоморского бассейнов показало, что отложения трансгрессивной части циклита ($J_{3\text{o+km}}$) Баренцевоморского шельфа по изотопным

данным могут быть соотнесены с верхнеюрскими отложениями (J_{3km}) Фроловского и Шаимского фациального района (тутлеймской свитой) и Ямальского и Гыданского фациальных районов (гольчихинской свитой) Западной Сибири (рис. 14). Регрессивная часть верхнеюрского циклита (J_{3km+tt}) Баренцевоморского шельфа по составу отложений и изотопным маркерам генезиса ОВ пород сопоставима со среднеюрскими отложениями (J_{2b}) Гыданского фациального района. Наблюдаемые характеристики подтверждают особенности мезозойского этапа развития Баренцево-Карского региона, в ходе которого наблюдается постепенное увеличение глубины морского бассейна, чередующиеся с периодами относительного понижения уровня моря.

В результате проведенного исследования была получена генетическая картина изотопного распределения углерода битумоидов верхнеюрских отложений Западно-Сибирского и Баренцевоморского бассейнов. Полученная закономерность расширяет возможности анализа ОВ нефтематеринских пород в пределах осадочного бассейна и значительно повышает целостность понимания процессов, контролирующих формирование нефтегазоносности.

Изотопно-геохимическая характеристика органического вещества и палеогеографическая зональность хадумского горизонта Предкавказского региона

Изотопно-геохимические исследования могут применяться не только для детальной корреляции отдельных разрезов, но и для региональной корреляции выдержаных высокоуглеродистых толщ при бассейновом анализе. Пример использования изотопных маркеров для уточнения региональных моделей приведён для хадумского горизонта потенциально нефтегазоматеринской толщей олигоцен-нижнемиоценового возраста Предкавказского передового прогиба.

На основе комплексного геолого-геофизического, литологического и геохимического изучения уникальной коллекции пород хадумского горизонта Предкавказья уточнены литофациальные характеристики и латеральной изменчивости ОВ в Крымско-Кавказском регионе. Анализ изотопного состава углерода битумоидов подтвердил и уточнил латеральную изменчивость типа ОВ в пределах хадумского горизонта (Рисунок 15): от преимущественно террагенного на западе до аквагенного на востоке, с развитием смешанного типа в переходной Сарпинско-Майкопской зоне (Рыжков В.И., 2016; Шарафутдинов В.Ф., 2003; Яндарбиеев Н.Ш. и др., 2017).

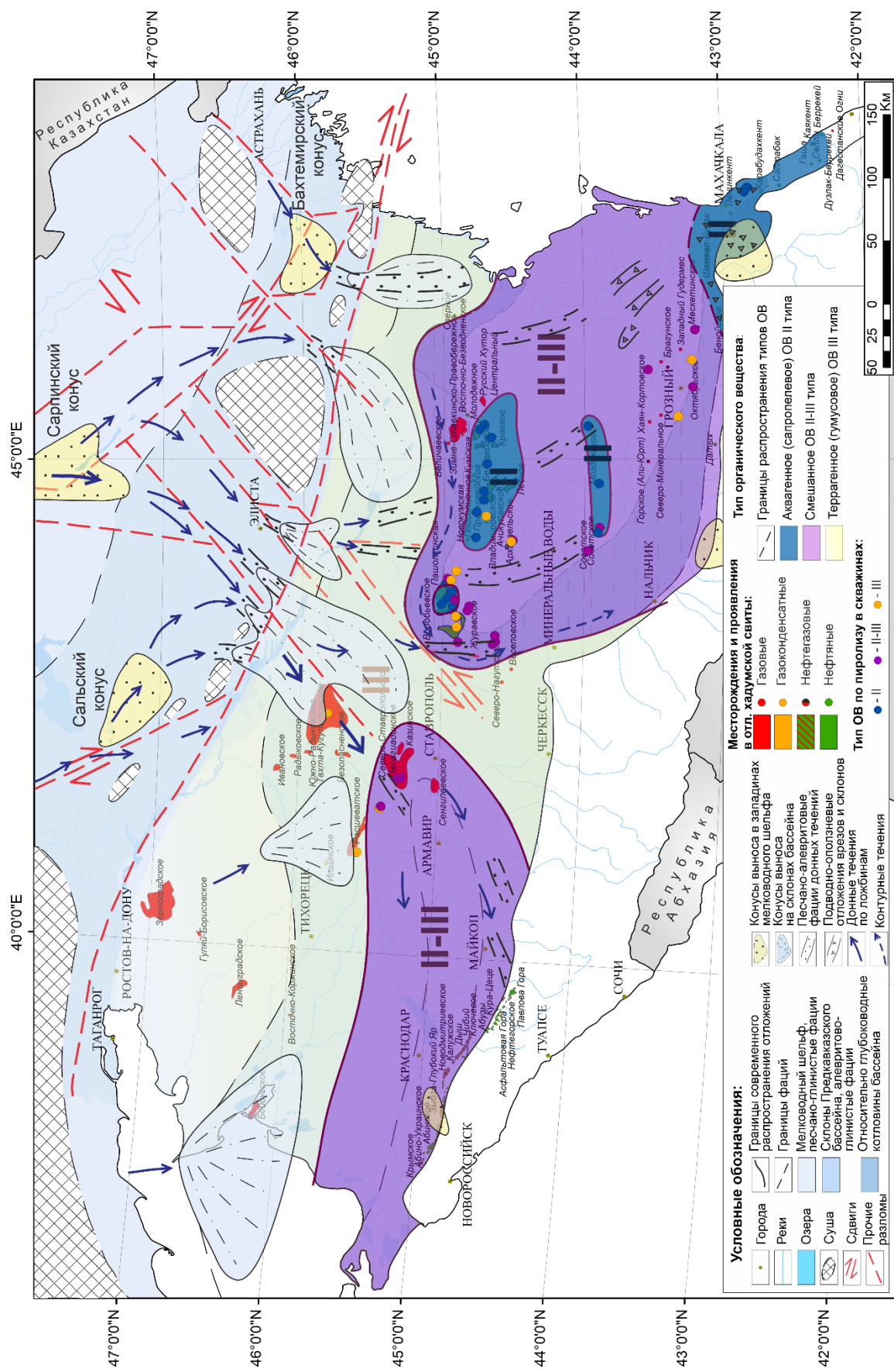


Рисунок 15. Карта-схема распространения типов ОВ в хадумском горизонте (Стафеев А.Н. и др., 2023).

Сапропелевый тип ОВ (II на Рисунок 15) соответствовал серповидной форме изотопно-фракционной кривой с преобладанием легкого изотопа ^{12}C насыщенной фракции ($\delta^{13}\text{C}$ от -29,5‰ до -31,2‰, VPDB) и асфальтенов ($\delta^{13}\text{C}$ от -28,0‰ до -29,2‰, VPDB). Террагенный тип ОВ, представленный преимущественно на западе и северо-западе Предкавказья (III на Рисунок 15), характеризовался линейной формой кривой с изотопным составом углерода насыщенной фракции ($\delta^{13}\text{C}$ от -28,0 ‰ до -29,0‰, VPDB) и асфальтенов ($\delta^{13}\text{C}$ от -27,5‰ до -28,2‰, VPDB). Область II-III характеризуется смешанным типом исходного ОВ с увеличением гумусовой составляющей вверх по разрезу и по латерали в западном направлении в разрезе хадумского горизонта.

Представленное распределение типов ОВ показало хорошую корреляцию с распределением залежей углеводородов разного фазового состава. Применение изотопно-геохимических критериев для идентификации генетических типов ОВ подтверждает возможность применения изотопных маркеров для уточнения палеогеографических обстановок осадконакопления.

Проведенные комплексные широкомасштабные исследования, включающие сопоставление результатов выделения тонкой цикличности и изотопно-фракционного анализа битумоидов, демонстрируют закономерность изменения условий осадконакопления, в которых захоронялось ОВ: по мере перехода от континентальных к морским фациям наблюдается обогащение лёгким изотопом. Эта закономерность показана на новом уровне детальности на примере верхнеюрских отложений Западно-Сибирского и Баренцевоморского бассейнов, а также показана эффективность данных на примере хадумского горизонта Предкавказья для прогноза типов ОВ и реконструкции палеообстановок.

ГЛАВА 5. ИЗОТОПНО-ГЕОХИМИЧЕСКИЕ ГАЗООБРАЗНЫХ УГЛЕВОДОРОДОВ

ОСОБЕННОСТИ

Изотопные маркеры являются эффективным инструментом для идентификации источников природных газов как на месторождениях, так и при их проявлении на поверхности в результате дегазации недр. В случае приповерхностного отбора газа его источник может быть определён либо путём сравнения геохимических характеристик с данными по газу, ранее отобранному непосредственно из изучаемого пласта, либо на основе геологической модели региона с учётом состава и свойств нефтематеринских толщ.

Изотопно-геохимическая характеристика прибрежных естественных проявлений углеводородов

Наиболее ориентировочные выводы об источнике газа могут быть сформулированы на основе сочетания изотопно-геохимического состава газа и анализа геологического строения региона; такие данные имеют оценочный характер, но являются достаточными для предварительного анализа. В настоящей работе данный подход продемонстрирован на примере анализа газовых углеводородных смесей, отобранных в прибрежной зоне юго-западного Крыма (бухта Ласпи).

Пробы газа отбирались из мелководных метановых сипов в бухте Ласпи. Впервые исследована временная (сезонная и суточная) динамика изотопных характеристик ($\delta^{13}\text{C}_{\text{CH}_4}$ и $\delta^{13}\text{C}_{\text{C}_2\text{H}_6}$) и компонентного состава пузырькового газа, что позволяет оценивать режим работы источника газопоявления. Полученные значения изотопного состава углерода метана и этана и концентраций УВ ($\delta^{13}\text{C}_{\text{CH}_4\text{средн}} = -36,0 \pm 0,8\text{\textperthousand}$, VPDB $\delta^{13}\text{C}_{\text{C}_2\text{H}_6\text{средн}} = -37,5 \pm 0,2\text{\textperthousand}$, VPDB, C1/C2+ < 100) указывают на значительный вклад термокаталитического газа, мигрирующего по разломным системам, а также признаков окисления метана (Рисунок 16).

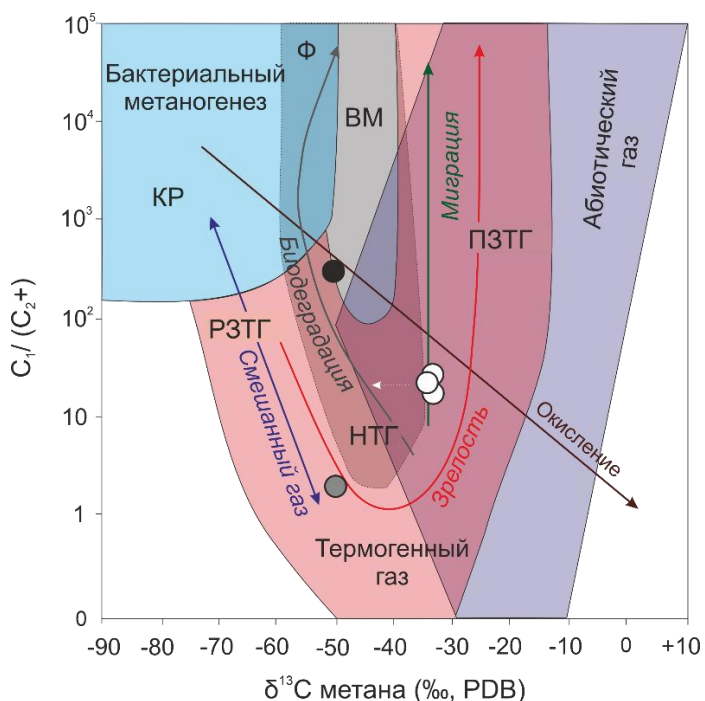


Рисунок 16. Вариации $\delta^{13}\text{C}$ метана и отношение концентрации метана и суммы гомологов (Краснова Е.А. и др., 2024а). На диаграмме нанесены генетические поля составов УВ (Milkov A.V. et al., 2018). Образцы газа из бухты Ласпи обозначены белым маркером; сипы Кавказского побережья Черного моря, схожие по величине $\delta^{13}\text{C}(\text{CH}_4)$ по (Pape T. et al., 2021): черным – сипы Батуми, серым – сипы Колхети.

Источники и происхождение углеводородных флюидов

В пределах Крымско-Кавказского региона к доказанным нефтегазоматеринским толщам относятся отложения кумской свиты (средний эоцен), майкопской серии и караган-чокракского миоцена; потенциальными НМТ также считаются апт-альбские и пограничные сеноман-туронские отложения (Суслова Э.Ю., 2006; Афанасенков А.П. и др., 2007; Габдуллин Р.Р. и др., 2012).

Проведённое бассейновое 2D-моделирование подтвердило, что основным региональным очагом генерации углеводородов сапропелевого типа является Индоло-Кубанский прогиб. Предполагается, что очаг генерации также мог существовать и в прогибе Сорокина, так как его формирование происходило одновременно с формированием Индоло-Кубанского прогиба. Наличие аномально высоких пластовых давлений в майкопских отложениях прогиба Сорокина могло способствовать миграции флюидов из очага нефтегазообразования (Nikishin A.M. et al., 2015; Sydorenko G. et al., 2016). В его глубоких частях породы от мела до миоцена достигли стадии главной зоны газообразования (ГЗГ), генерируя в настоящее время преимущественно газ.

Таким образом, анализ нефтегазоносности региона, включая изотопный состав углерода метана и этана, позволяет заключить, что источником газовых проявлений в Западно-Черноморском бассейне являются верхнеэоценовые-олигоценовые и, в глубоких впадинах, миоценовые отложения прогиба Сорокина.

Изотопные характеристики приповерхностных газопроявлений эксплуатационных скважин

Более достоверную оценку генезиса и характеристик ОВ вещества можно получить при сравнении геохимических параметров приповерхностных проявлений с данными по газу, отобранному непосредственно из изучаемого пласта. В настоящей работе этот подход реализован на примере приповерхностных проявлений на территории Ямбургского нефтегазоконденсатного месторождения (север Западной Сибири).

С целью установления источника газопроявлений были проведены исследования заколонных и межколонных газопроявлений на скважинах Ямбургского нефтегазоконденсатного месторождения. Газопроявления различной интенсивности при бурении и эксплуатации скважин на месторождениях Западной Сибири отмечаются с первых дней освоения региона; их основной причиной часто является нарушение сплошности и таяние многолетнемерзлых пород вокруг скважин, что приводит к выходу внутримерзлотного газа на поверхность (Якушев В.С. и др., 1987; Бондарев В.Л. и др., 2008; Леонов С.А., 2010).

В ходе исследований зафиксированы газовыделения по всей территории месторождения и собрана информация по 74 скважинам, пробуренным на сеноманские и валанжинские отложения. В период с 2016 по 2023 годы авторами было отобрано около 100 проб газа из различных скважин (Автолов Н.Р., Краснова Е.А. и др., 2017, 2018). На диаграмме (Рисунок 17) представлены поля

компонентного и изотопного состава внутримерзлотного, сеноманского и валанжинского газов (Арэ Ф.Э., 1998; Дворецкий П.И. и др., 2000; Якушев В.С., 2015). В скважинах, пробуренных на сеноманские отложения, отмечается газ меж- и заколонного пространства, мигрирующий из сеноманских ($\delta^{13}\text{C}_{\text{метана}} \sim -50\text{\textperthousand}$, VPDB) и внутримерзлотных пластов ($\delta^{13}\text{C}_{\text{метана}} \sim -73\text{\textperthousand}$, VPDB). В скважинах, пробуренных на валанжинские отложения – газ из валанжинских ($\delta^{13}\text{C}_{\text{метана}} \sim -35\text{\textperthousand}$, VPDB), сеноманских ($\delta^{13}\text{C}_{\text{метана}} \sim -50\text{\textperthousand}$, VPDB) пластов и газ бактериального происхождения. Газы межколонных и заколонных проявлений отвечают схожим геохимическим характеристикам, что свидетельствует о едином генетическом источнике.

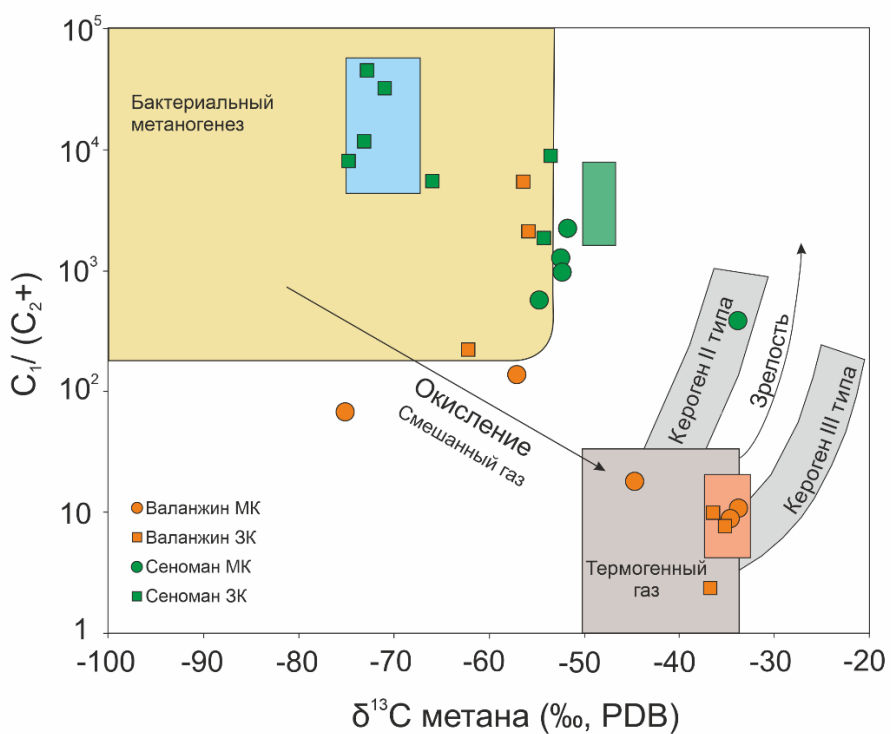


Рисунок 17. Вариации компонентного состава газа относительно изотопного состава углерода метана. Поля состава газа нанесены по (Whiticar M., 1994b, 1999b). Закрашенные прямоугольники показывают геохимические характеристики сеноманского (зелёный) и валанжинского (оранжевый) продуктивных горизонтов и газа газогидратов (голубой) по (Якушев В.С., 2009, 2015). ЗК – заколонный газ, МК – межколонный газ.

Приустьевые газопроявления характерны для скважин на сеноманские и валанжинские отложения по всей территории месторождения. Их причинами могут быть: техническое состояние скважин, газ в многолетнемерзлых породах, или миграция глубинного катагенетического газа по разломам. Изотопный анализ отобранных проб выявил несколько источников заколонных газовыделений:

катагенетический (глубинный), связанный с отложениями сеномана и валанжина, и микробиальный (приповерхностный), ассоциированный с внутри- и подмерзлотными газ-газогидратными пластами, потенциально имеющими промышленное значение.

Изотопно-геохимические особенности газообразных углеводородов в разрезе осадочной толщи

Наиболее достоверную привязку газовых проявлений к продуцирующей их осадочной толще, можно осуществить с помощью методики отбора газа из закрытых керновых труб (см. Рисунок 2). Данный метод был отработан на примере анализа газообразных углеводородов в разрезе баженовской свиты (южная часть Западной Сибири). На основе комплексного изотопно-геохимического анализа был изучен состав газов верхнеюрских отложений представительных 56 проб газа из 4 скважин, расположенных в южной и центральной частях Западной Сибири (две скважины на Подогрудовском мегавале, одна скважина на Каймысовском своде и одна скважина на Салымском мегавале).

С целью установления изотопного состава газа, продуцированного толщей баженовской свиты, был рассчитан линейный тренд теоретического природного изотопного состава газа всех компонентов (Chung H. et al., 1988). Для расчёта кривых были выбраны пробы газа из одинаковых интервалов для всех скважин, сопоставимых по литологическому составу и наиболее гомогенному составу керогеново-глинисто-кремнистых разностей пород. Важной особенностью всех отобранных образцов является их принадлежность к верхнему интервалу баженовской свиты, где установлены схожие условия для миграции газа. В скважине 3 дополнительно был изучен газ, продуцирующий абалакской свитой.

Литолого-геохимический состав кернового материала был изучен для оценки типа генерируемого ОВ и наличия путей миграции флюидов из нижележащих прослоев. Результаты пиролитических исследований показали, что ОВ скважин 1, 2 и 3 по зрелости относится к стадии катагенеза ПК₃, а скважина 4 – МК₂, по классификации из работ (Вассоевич Н.Б. и др., 1976; Espitalie J. и др., 1986). Все изученные газовые пробы относятся к группе газов, генерированных морским органическим веществом. В результате исследования газов баженовской свиты выделены два генетических типа, сформированных при термокаталитическом разложении ОВ в схожих условиях. Первый тип ($\delta^{13}\text{C}$ метана = -55 – -50 ‰, VPDB, скважины 1, 2, 4, и несколько образцов 3, Рисунок 18) продуцирован баженовской толщей и отнесен к одной генетической категории,

образующейся при относительно невысоких температурах (Галимов Э.М., 1973б). Наблюдаемые вариации изотопного состава (обогащение тяжелым изотопом углерода в газе скважины 4) могут быть объяснены различиями в степени преобразованности исходного ОВ (достигающего стадии катагенеза МК₂ в скважине 4).

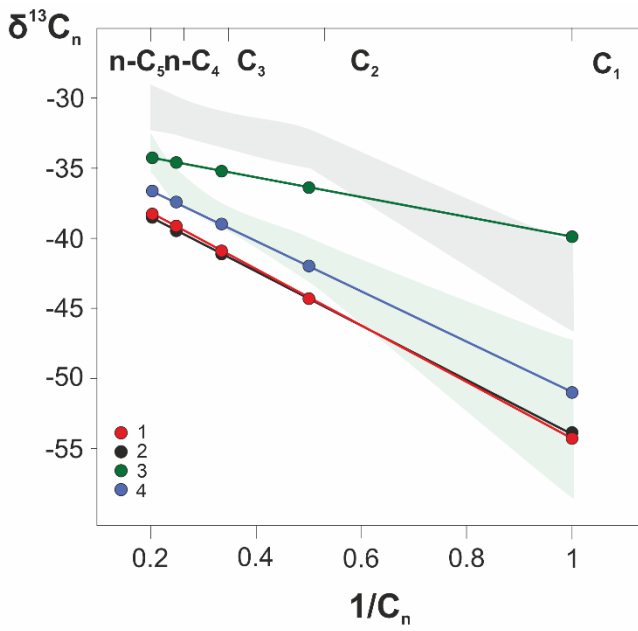


Рисунок 18. Усредненный исходный изотопный состав газа баженовской свиты (Краснова Е.А. и др., 2019). Скважины, в которых были изучены пробы газа, обозначены номерами (1–4). Поля составов приведены для газов Западной Сибири: зеленым – газы, связанные с ОВ баженовского горизонта, серым – газы генерированные неморским ОВ, палеозойского типа (по Гончаров и др., 2012, 2023).

Второй тип газа ($\delta^{13}\text{C}$ метана = -41 – -39 ‰, VPDB, сгенерирован из ОВ низкой зрелости, ПК₃), выявленный в скважине 3 и в нескольких образцах скважины 2, характеризуется изотопным составом углеводородов, обогащенным тяжёлым изотопом. Такой состав не типичен для данной стадии зрелости ОВ и не может быть объяснён исключительно степенью его преобразованности, что позволяет отнести этот газ к иной генетической группе. Проанализированный газ, продуцируемый абалакской свитой, по изотопному составу углерода близок к выделяемому второму типу газа ($\delta^{13}\text{C}$ метана = -43 – -40 ‰, VPDB).

Для определения источников двух выделенных генетических типов газа и их связи с генерацией в баженовской свите рассмотрена возможная миграция флюидов из подстилающих толщ. В скважине 3 зафиксированы признаки высокотемпературного гидротермального воздействия (жильный кальцит с $T_{\text{крист.}}$ 170–200°C), что может указывать на миграцию газа второго типа из нижележащих горизонтов посредством гидротермальных потоков.

Таким образом, применённая методика позволила детально охарактеризовать газ, продуцируемый баженовской толщей и выделить две генетические группы газа. Установлено, что газ, продуцируемый баженовской свитой, характеризуется вариациями $\delta^{13}\text{C}$ метана = -55 – -50 ‰, VPDB, а незначительное обогащение его

тяжёлым изотопом связано со степенью преобразованности ОВ до стадии МК₂. Зафиксированы признаки подтока миграционного газа второй группы из нижележащих отложений. ($\delta^{13}\text{C}$ метана = -41 – -39 ‰, VPDB).

Впервые для диагностики природы углеводородных газов разработан и апробирован методический подход, основанный на отборе газа, естественно выделяющегося из керна при хранении, может быть рассмотрен как альтернатива отбору газа в ходе бурения скважин.

В главе представлены результаты изотопно-геохимического анализа углеводородных газов, отобранных в различных геодинамических условиях: в прибрежной зоне бухты Ласпи (юго-западный Крым), в приповерхностных проявления на Ямбургском нефтегазоконденсатном месторождении и в разрезе баженовской свиты юга и центра Западной Сибири. Установлено, что газы бухты Ласпи генерировались органическим веществом морского генезиса, одним из источником которого могли являться верхнеэоценовые и олигоценовые отложения. На Ямбургском месторождении по изотопному составу выделены три генетических типа газа: из сеноманских, валанжинских и мерзлотных (газогидратных) отложений. Впервые применённая методика отбора газа по интервалам позволила идентифицировать генетические группы, оценить изотопный состав газа, продуцируемый баженовской свитой, и зафиксировать признаки подтоков миграционного газа из нижележащих отложений.

ГЛАВА 6. ПРИМЕНЕНИЕ ИЗОТОПНЫХ МАРКЕРОВ ДЛЯ ФЛЮИДОДИНАМИЧЕСКИХ РЕКОНСТРУКЦИЙ

Одними из основных направлений использования изотопных маркеров для решения задач в нефтегазовой геологии является типизация ОВ, определение генетической связи и построение флюидодинамических моделей (Franks S. et al., 2001; Dias R. et al., 2002; Tocqué E. et al., 2005). Важным фактором является возможность идентифицировать влияние наложенных факторов (окисление, биодеградация, термальное воздействие и др.) при применении изотопно-молекулярного подхода (Галимов Э.М., 1981, 1986). Построение флюидодинамической модели с использованием комплексного изотопно-геохимического анализа проводилось в несколько этапов и продемонстрировано на примере группы месторождений Каменной вершины Красноленинского свода Западной Сибири.

Этап 1. Установление условий формирования органического вещества (битумоида) и его генетическая типизация. По данным соотношений стабильных изотопов $\delta^{13}\text{C}$ в битумоиде.

Было проанализировано 80 проб битумоидов, экстрагированных из нефтематеринских толщ тутлеймской и тюменской свит и разделённых на аналитические группы (масла, бензольные и спирто-бензольные смолы, асфальтены). Сопоставлены изотопно-фракционные кривые для определения генетической связи битумоидов путем оценки обобщённого сходства (Фрик М.Г., 1984). По результатам расчёта были выделены три генетические группы и установлено распределение изотопного состава углерода характерное для флюидов, генерированных сапропелевым и гумусово-сапропелевым типом ОВ.

На первом этапе была получена характеристика битумоидов: установлен тип исходного ОВ, определены две генетические группы и выделена третья группа, фиксирующая признаки вторичных преобразований.

Этап 2. Установление условий формирования жидких углеводородов и их генетическая типизация. По данным соотношений стабильных изотопов $\delta^{13}\text{C}$ нефти.

Был проанализирован изотопный состав углерода разнополярных фракций 60 проб нефтей (пласти: доюрского комплекса (ДЮК), тюменской свиты (ЮК 2-9), аналога абалакской свиты (П), викуловской свиты (ВК) и базального горизонта, аналог шеркалинской свиты (БГ)). На основе анализа изотопно-фракционных кривых нефтей и битумоидов выделены три генетические группы. Первая группа характеризуется серповидным трендом и наиболее лёгким изотопным составом углерода ($\delta^{13}\text{C}$ нас. от -30 до -31‰, VPDB для нефтей, $\delta^{13}\text{C}$ нас. от -28,5 до -29‰, VPDB для битумоидов), что типично для ОВ сапропелевого типа. Вторая группа отличается обогащением тяжёлым изотопом углерода ($\delta^{13}\text{C}$ нас. от -29 до -30‰, VPDB для нефтей и от -26 до -28‰, VPDB для битумоидов) и сублинейным трендом, указывающим на преимущественно гумусовый тип ОВ; при этом отдельные образцы (верхи тюменской свиты) демонстрируют серповидный тренд распределения, фиксируя локальное увеличение доли сапропелевой составляющей. Третья группа представляет собой смесь первых двух типов и фиксирует наличие признаков термического воздействия (наблюдается потеря легких изотопов УВ фракции и обогащение ими смол). Существенно, что для изучаемых нефтей не обнаружено корреляций с принадлежностью к определённым возрастным интервалам. Этот факт, в сочетании с наличием смешанной по изотопному составу группы битумоидов,

свидетельствует о существовании единой флюидодинамической системы и активном смешении флюидов из различных по генезису и возрасту нефтематеринских толщ в пределах осадочного чехла.

На втором этапе с использованием изотопно-молекулярного метода диагностики источника нафтидов для исследованных битумоидов и нефтей установлены два генетических типа вещества, а также группа, формирующаяся в результате их смешения. Эти группы соответствуют сапропелевому ОВ с различной примесью гумусовой составляющей. Полученные распределения изотопно-фракционных кривых фиксируют следы вторичных процессов.

Этап 3. Оценка гидродинамической связи. По данным изучения геохимических параметров δD и $\delta^{18}O$ в воде.

Была выполнена оценка гидродинамической взаимосвязи по площади месторождения и между пластами по разрезу, результаты которой представлены в статье коллектива авторов (Большакова М.А. и др., 2021). Для оценки кондиционности проб попутной воды и влияния техногенного фактора были проанализированы данные: по перфорациям и перестрелам скважин. По результатам оценки было выделено 23 кондиционных образца, результаты анализов которых (химического и изотопного состава воды) были использованы при изучении флюидодинамических связей на месторождении Красноленинского свода.

Изотопно-геохимический анализ вод Красноленинского свода позволил идентифицировать техногенные (метеорные) воды ГРП ($\delta D \sim -115\text{\textperthousand}$, $\delta^{18}\text{O}_{\text{SMOW}} \sim -16\text{\textperthousand}$) и пластовые воды различных горизонтов. Горизонты ВК1 и ВК2-3 характеризуются значительным разбросом значений $\delta^{18}\text{O}_{\text{SMOW}}$ (-14,9...-7,0‰) и δD (-110,8...-65,2‰), что указывает на смешанный генезис; в ряде проб выявлен положительный сдвиг $\delta^{18}\text{O}_{\text{SMOW}}$ (до +3‰). В целом, для пластовых вод всего разреза (пласты ВК, П, ЮК₂, БГ₂) установлен прогрессирующий с глубиной положительный сдвиг $\delta^{18}\text{O}_{\text{SMOW}}$ (от +3‰ до +7‰), свидетельствующий об усилении изотопного обмена с породой при возрастающих температурах. Особо выделяются воды доюрского комплекса (ДЮК), для которых выделяются две группы: одна близка к водам ВК/П пластов, а в другой фиксируется уникальный отрицательный сдвиг $\delta^{18}\text{O}_{\text{SMOW}}$ (до -27,2‰). Данный сдвиг, нетипичный для пластовых вод, объясняется активным изотопным обменом с газовой фазой CO₂, поступающей из глубоких горизонтов по открытым разломам.

На третьем этапе было выявлено отсутствие латеральной связи между основными продуктивными горизонтами (базальным, тюменским, доюрским),

определенено наличие зон восходящей вертикальной фильтрации и гидротермальное влияние глубинных, обогащенных CO₂ флюидов на доюрский комплекс.

Этап 4. Определение вторичных преобразований. По данным комплексного изучения геохимических параметров δ¹³C и δ¹⁸O в карбонатном материале.

Исследование изотопного состава карбонатных прожилок в терригенных породах осадочного чехла выявило признаки интенсивных вторичных преобразований под воздействием гидротермальных растворов (Карпова Е.В. и др., 2021). Об этом свидетельствует значительный сдвиг изотопного состава кислорода в карбонатах (до δ¹⁸O = 6,2‰, SMOW или -24‰, VPDB), указывающий на высокотемпературный изотопный обмен с флюидом. Рассчитанные палеотемпературы кристаллизации кальцита в микротрещинах (110–210 °C) существенно превышают фоновые температуры вмещающей породы (40–80 °C), что подтверждает идею просачивания гидротермальных растворов вдоль разломов и микротрещин. Выводы о гидротермальной деятельности подтверждаются и другими методами: минералого-петрографическими данными (наличие новообразованного сфалерита и барий-содержащих минералов) и анализом флюидных включений в кварце, показавшим температуры гомогенизации до 260 °C (Карпова Е.В. и др., 2021).

На четвертом этапе комплекс изотопных, минералогических и термобарогеохимических данных подтверждает просачивание высокотемпературных флюидов по зонам трещиноватости.

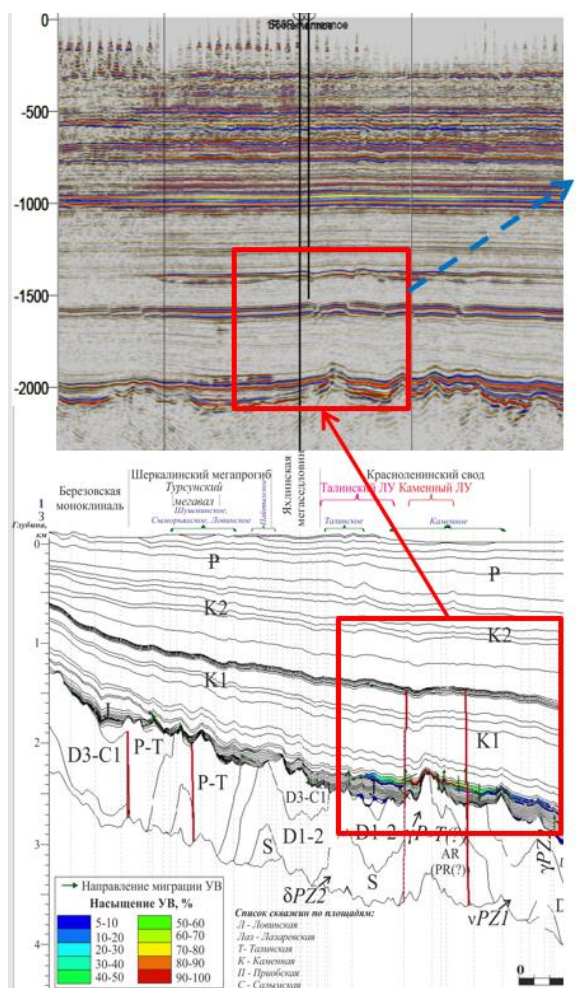
Этап 5. Обобщение данных и построение флюидодинамической модели формирования группы месторождений Красноленинского свода (Западная Сибирь). По данным комплексного изучения геохимических параметров δ¹³C в нефтях и битумоидах, δ¹⁸O и δD в воде, δ¹⁸O в карбонатном материале и полученных ранее геологических данных.

Для построения комплексной флюидодинамической модели месторождений Красноленинского свода был проведен синтез геолого-геохимических данных, включая анализ истории разработки скважин, изотопный состав и свойства флюидов (нефть, битумоиды, пластовые воды), а также минералого-петрографические и термобарогеохимические исследования. В результате сопоставления полученной геохимической информации с геологической интерпретацией района работ были сделаны выводы о наличии проводящих каналов, разломов структурных поверхностей, которые могли или могут в настоящее время выступать в качестве путей миграции углеводородов. Было показано, что распределение типов ОВ по

катагенетической зрелости, установленных по пиролитическим параметрам в отложениях тюменской свиты, соответствует выделенным группам нефти по изотопному составу углерода и биомаркерным параметрам (Осипов К.О. и др., 2023). Первая группа отвечает высокой степени зрелости вещества, вторая группа – средней, третья группа – низкой зрелости.

Комплексные аналитические исследования флюидов, расчёт генетических коэффициентов, в том числе изотопных маркеров, параметров вторичных преобразований нефти, учитывающих процессы биодеградации и контаминации, позволили оценить термическую историю преобразования исходного ОВ (Карпова Е.В. и др., 2021; Осипов К.О. и др., 2023; Тихонова М.С. и др., 2021; Фомина М.М. и др., 2021 и другие). Совокупность этих данных, согласованная с литологическими и сейсмическими исследованиями, доказывает наличие проницаемых флюидопроводящих каналов (разломов), связывающих разновозрастные горизонты. На основе этого была построена новая принципиальная модель месторождения (Рисунок 19).

Миграция УВ по разломам



Принципиальная модель строения Каменного ЛУ

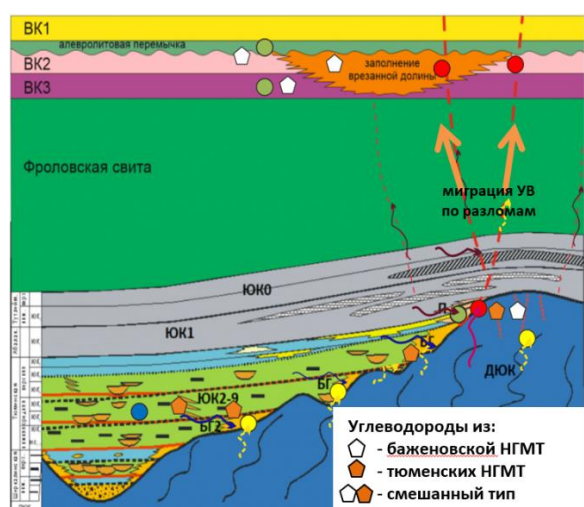


Рисунок 19. Принципиальная модель флюидодинамических связей в пределах Каменной вершины Красноленинского свода (Краснова Е.А. и др., 2024b).

Наличие в терригенных породах карбонатов нескольких гидротермальных генераций в зонах разломов (викуловская и бажен-абалакская свиты) подтверждает идею миграции высокотемпературных флюидов по тектоническим нарушениям, которые, в свою очередь, зафиксированы сейсморазведкой. Доказательства импульсного (стадийного) заполнения резервуара включают обнаружение нескольких палеоповерхностей водонасыщения в викуловской свите и данные о многократном прогреве доюрского комплекса, синхронном с тектоническими перестройками.

В результате проделанной комплексной геолого-геохимической работы была уточнена принципиальная модель формирования залежей исследованного месторождения и проведено сравнение с ранее предложенной схемой миграции углеводородов на Красноленинском своде (Гончаров И.В. и др., 2016). В отличие от ранее существовавших представлений о непроницаемости фроловских глин, предложенная модель доказывает существование вертикальной миграции по тектоническим нарушениям. Эта миграция носит импульсный (стадийный) характер и включает смешение флюидов из нескольких источников, углеводородов из юрской и доюрской толщ. Также периодически происходит подток гидротермальных флюидов, в том числе и с CO₂ из пород фундамента.

Таким образом, в настоящей главе было представлено использование изотопных маркеров, как уточняющего метода при построении геолого-геохимических моделей. Проведённое комплексное всестороннее изотопно-геохимическое исследование источника нефти, битумоидов, воды и пород осадочного чехла в пределах месторождения Красноленинского свода Западной Сибири позволило уточнить принципиальную модель формирования залежей месторождения, продемонстрировав миграцию флюидов по вертикали через фроловские глины вверх по многочисленным разломам. Помимо подтока сухого газа, лёгких и средних углеводородов в виде газоконденсатной смеси из доюрского комплекса, также, происходит подток гидротермальных флюидов, в том числе и с CO₂ из пород фундамента.

ЗАКЛЮЧЕНИЕ

В работе продемонстрирован комплексный подход решения фундаментальных задач современной нефтяной геологии на основе разработки изотопно-геохимических критериев оценки генезиса и эволюции пород, органического вещества и флюидов. Разработанные изотопно-геохимические маркеры ($\delta^{18}\text{O}$, $\delta^{13}\text{C}$) и их апробация на относительно хорошо изученных другими методами объектах

позволили продемонстрировать возможности применения изотопных маркеров для решения задач нефтегазовой геологии по трём блокам: стратификация разрезов, геохимическая типизация ОВ и флюидодинамические реконструкции.

Главные результаты работы в блоке «стратификация разрезов»:

1. По изотопным данным получены новые стратиграфические реперные точки в разрезах эоценовых, сеноман-туронских отложений Крыма. На Северо-Западном Кавказе в разрезе турон-коньякских отложений и в кембрийских отложениях юга Сибирской платформы. В изученных разрезах установлены глобальные события планетарного масштаба в эоцене (ЕЕСО), на границах сеномана-турона (ОАЕ-2), турона-коньяка и в верхнекембрийских отложениях (SPICE и ТОСЕ). Выполненная оценка позволила установить этапы трансгрессивных и регрессивных событий, температурных флуктуаций, а также колебания биопродуктивности бассейна.

Главные результаты работы в блоке «геохимическая типизация органического вещества»:

2. На основе анализа массива разнородных данных показана взаимосвязь между седиментационной цикличностью, обусловленной трансгрессивно-регрессивными колебаниями уровня моря, и изотопно-геохимическими особенностями изученных верхнеюрских отложений Западно-Сибирского и Баренцевоморского бассейнов.

3. Выявлены и систематизированы закономерности распределения изотопов углерода битумоидов и создана единая генетическая картина для единых палеогеографических обстановок Западно-Сибирского и Баренцевоморского бассейнов позднеюрского времени.

4. Применённая впервые методика отбора газа из определенного интервала позволила на основе изотопного состава углерода детализировать и типизировать генетические группы газовых углеводородов баженовской свиты центральной части Западной Сибири.

5. Выявлена взаимосвязь приповерхностных газовых углеводородных проявлений с источником их генерации в прибрежной части юго-западного Крыма (бухта Ласпи) и на территории Ямбургского нефтегазоконденсатного месторождения (север Западной Сибири).

Главные результаты работы в блоке «флюидодинамические реконструкции»:

6. Установлены связи между нефтематеринской толщёй и углеводородами, а также между флюидами разновозрастных комплексов в пределах группы месторождений Красноленинского свода в Западной Сибири, что позволило

уточнить флюидодинамическую модель изучаемого участка и использовать полученные закономерности при проведении бассейнового моделирования.

Благодарности. Автор выражает глубокую благодарность заведующему кафедрой и научному консультанту А.В. Ступаковой за постоянную поддержку и ценные консультации в процессе работы над диссертацией. Искренняя признательность выражается всему коллективу кафедры геологии и геохимии горючих ископаемых МГУ имени М.В. Ломоносова, а также сотрудникам геологического факультета Московского университета Н.А. Харитоновой, Н.В. Лубиной, В.М. Сорокину за полезные и критические обсуждения результатов работы. Особую благодарность за предоставленный материал, помочь в работе и понимание автор выражает А.М. Никишину, Е.А. Лыгиной, Е.В. Яковишиной, С.В. Бордунову, коллегам ИФЗ РАН: В.Э. Павлову; коллегам ФИЦ ИнБЮМ РАН: Т.В. Малаховой, А.И. Хурчак; физического факультета МГУ: А.А. Будникову, И.Н. Ивановой; коллегам РГУ нефти и газа (НИУ) имени И.М.Губкина: В.С. Якушеву, Н.Р. Аветову. Автор выражает особую признательность коллегам из ГЕОХИ РАН за плодотворные научные дискуссии, а также своим коллегам, аспирантам и студентам А.С. Грязновой, Т.О. Колесниковой, В.А. Шарафутдиновой, М.Л. Махнутиной, А.В. Кусмаевой за поддержку при выполнении исследований. Глубокую благодарность автор выражает семье и близким за неоценимую поддержку на всех этапах работы.

СПИСОК РАБОТ, ОПУБЛИКОВАННЫХ ПО ТЕМЕ ДИССЕРТАЦИИ

Статьи, опубликованные в изданиях, рекомендованных для защиты в диссертационном совете МГУ по специальности и отрасли наук

1. **Краснова, Е. А.** Закономерности изменения изотопного состава углерода органического вещества как индикатор условий осадконакопления / Е. А. Краснова, А. В. Ступакова, А. П. Завьялова, Р. С. Сауткин, А. А. Суслова, Т. О. Колесникова // *Георесурсы*. – 2025. – Т. 27. – № 2. – С. 64-73. doi: 10.18599/grs.2025.2.6 (0,9 п.л., авторский вклад 60%). Импакт фактор 0,5 (JIF).
2. Большаякова, М. А. О классификации нефтегазоматеринских пород. / М. А. Большаякова, А. В. Ступакова, Р. С. Сауткин, К. А. Ситар, А. Г. Калмыков, Е. А. **Краснова**, Н. В. Пронина, А. П. Вайтехович // *Георесурсы*. – 2025. – Т. 27. – № 2. – С. 54-63. doi: 10.18599/grs.2025.2.5 (1,1 п.л., авторский вклад 15%). Импакт фактор 0,5 (JIF).
3. Колесникова, Т. О. Эволюция и условия формирования нефтегазоносности Баренцевоморского и Северо-Карского осадочных бассейнов / Т. О. Колесникова, А. В. Мордасова, А. А. Суслова, А. В. Ступакова, М. А. Большаякова,

Е. А. Краснова, Р. С. Сауткин, Р. М. Гилаев, И. В. Кувинов, А. А. Гильмуллина, К. О. Осипов // Георесурсы. – 2025. – Т. 27. – № 2. – С. 93-117. doi: 10.18599/grs.2025.2.8 (2,1 п.л., авторский вклад 20%). Импакт фактор 0,5 (JIF).

4. Сауткин, Р. С. Формирование месторождений нефти и газа древних нефтегазоносных бассейнов (Восточная Сибирь). / Р. С. Сауткин, А. В. Ступакова, Е. А. Краснова, А. А. Суслова, М. Е. Воронин, Д. О. Смирнова, А. В. Мордасова // Георесурсы. – 2025. – Т. 27. – № 2. – С. 161-173. doi: 10.18599/grs.2025.2.13 (0,7 п.л., авторский вклад 25%). Импакт фактор 0,5 (JIF).

5. Ступакова, А. В. Комплексирование разномасштабных данных для поиска и разведки месторождений нефти и газа / А. В. Ступакова, Р. С. Сауткин, Калмыков, Г.А., Коробова, Н.И., М. А. Большикова, Е. А. Краснова, Корзун, А.В., Мордасова, А.В., А. Г. Калмыков // Георесурсы. – 2025. – Т. 27. – № 2. – С. 186-205. doi: 10.18599/grs.2025.2.15 (1,0 п.л., авторский вклад 25%). Импакт фактор 0,5 (JIF).

6. Суслова, А. А. История развития Баренцево-Карского региона в фанерозое для оценки перспектив / А. А. Суслова, А. В. Мордасова, Р. М. Гилаев, Е. А. Краснова, Р. С. Сауткин, Н. И. Коробова, Н. С. Шевчук, А. В. Ступакова, А. С. Агаян, М. А. Большикова, Т. О. Колесникова // Георесурсы. – 2025. – Т. 27. – № 2. – С. 74-92. doi: 10.18599/grs.2025.2.7 (1,1 п.л., авторский вклад 25%). Импакт фактор 0,5 (JIF).

7. Воронин, М. Е. Геологическое строение и условия формирования мезозойских отложений Восточного Предкавказья / М. Е. Воронин, Р. С. Сауткин, А. В. Ступакова, Е. А. Краснова, А. А. Суслова, Р. М. Гилаев // Научный журнал Российского газового общества. – 2024. – Т. 46. – № 4. – С. 6-17. (0,5 п.л., авторский вклад 20%). Импакт фактор 0,549 (РИНЦ). EDN: CYNGII

8. Краснова, Е. А. Геолого-geoхимическая характеристика естественных проявлений углеводородов континентальной окраины юго-западного Крыма, бухта Ласпи / Е. А. Краснова, А. А. Будников, И. Н. Иванова, А. И. Хурчак, А. С. Грязнова, О. В. Крылов, Т. В. Малахова // Георесурсы. – 2024. – Т. 26. – № 4. – С. 83-100. doi:10.18599/grs.2024.4.13 (2,4 п.л., авторский вклад 60%). Импакт фактор 0,5 (JIF). EDN: CQHIV

9. Краснова, Е. А. Использование соотношений стабильных изотопов $\delta^{18}\text{O}$, $\delta^{13}\text{C}$ в задачах нефтяной геологии / Е. А. Краснова, А. В. Ступакова, Р. С. Сауткин, А. В. Корзун, М. А. Большикова, А. А. Суслова // Георесурсы. – 2024. – Т. 26. – № 3. – С. 126-137. doi:10.18599/grs.2024.3.14 (1,6 п.л., авторский вклад 60%). Импакт фактор 0,5 (JIF). EDN: MHLVNK

10. Коробова, Н. И. Особенности состава и строения продуктивных отложений викуловской свиты Красноленинского свода и их влияние на фильтрационно-емкостные свойства / Н. И. Коробова, Н. С. Шевчук, Е. Е. Карниушина, Р. С. Сауткин, Е. А. Краснова // Георесурсы. – 2023. – Т. 25. – № 2. – С. 105-122. DOI: 10.18599/grs.2023.2.8 (1,6 п.л., авторский вклад 20%). Импакт фактор 0,5 (JIF). EDN: UDXCHU

11. Малахова, Т. В. Мониторинг мелководных сипов у мыса Фиолент (Черное море) / Т. В. Малахова, Л. В. Малахова, А. И. Мурашова, А. А. Будников, И. Н. Иванова, Е. А. Краснова // *Океанология*. – 2023. – Т. 63. – № 1. – С. 135-148. doi:10.31857/S0030157423010082 (**1,2 п.л., авторский вклад 30%**). Импакт фактор 1,826 (РИНЦ). EDN: AGTEEO
12. Малахова, Т. В. Средообразующий эффект пузырьковых газовыделений в Голубой бухте (Севастополь, Черное море): кислородный режим и бактериальные маты / Т. В. Малахова, А. И. Мурашова, И. Н. Иванова, А. А. Будников, Л. В. Малахова, Е. А. Краснова, О. Рылькова А,, Н. В. Пименов // *Геохимия*. – 2023. – Т. 68. – № 3. – С. 294-305. doi:10.31857/S0016752523030081 (**1,1 п.л., авторский вклад 30%**). Импакт фактор 1,322 (РИНЦ). EDN: MCZGGW
13. Осипов, К. О. Источники нефти Красноленинского месторождения / К. О. Осипов, М. А. Больщакова, Э. А. Абля, Е. А. Краснова, Р. С. Сауткин, А. А. Суслова, М. С. Тихонова // *Георесурсы*. – 2023. – Т. 25. – № 2. – С. 161-182. doi:10.18599/grs.2023.2.12 (**2,4 п.л., авторский вклад 20%**). Импакт фактор 0,5 (JIF). EDN: HLJFMN
14. Самсонов, Р. О. Оценка углеводородного потенциала Крымского полуострова: состояние и перспективы / Р. О. Самсонов, М. Ю. Карпушин, О. В. Крылов, А. А. Суслова, Т. О. Колесникова, А. Н. Стафеев, Р. С. Сауткин, Е. А. Краснова, Я. А. Шитова // *Георесурсы*. – 2023. – Т. 25. – № 2. – С. 64-74. doi:10.18599/grs.2023.2.5 (**0,9 п.л., авторский вклад 20%**). Импакт фактор 0,5 (JIF). EDN: ICUQRI
15. Стафеев, А. Н. Палеогеографические предпосылки нефтегазоносности хадумского горизонта (нижний олигоцен) Предкавказья. / А. Н. Стафеев, А. В. Ступакова, Е. А. Краснова, А. А. Суслова, Р. С. Сауткин, Я. А. Шитова, М. Е. Воронин // *Георесурсы*. – 2023. – Т. 24. – № 2. – С. 89-104. doi:10.18599/grs.2023.2.7 (**1,4 п.л., авторский вклад 35%**). Импакт фактор 0,5 (JIF). EDN: DUGSQX
16. Лыгина, Е. А. Эоценовая сейсмичность и палеогеография Центрального Крыма / Е. А. Лыгина, Н. В. Правикова, Е. Р. Чижова, Т. Ю. Тверитинова, Е. В. Яковишина, А. М. Никишин, М. В. Коротаев, А. В. Тевелев, Е. А. Краснова, В. Л. Косоруков, Е. Н. Самарин // *Вестник Московского университета. Серия 4: Геология*. – 2022. – Т. 5. – С. 68-77. doi:10.33623/0579-9406-2022-5-68-77 (**0,9 п.л., авторский вклад 20%**). Импакт фактор 0,301 (РИНЦ). EDN: UBNDDF
17. Яковишина, Е. В. Климатические флуктуации и условия седиментации турон-коньякских отложений Северо-Западного Кавказа / Е. В. Яковишина, С. И. Бордунов, Л. Ф. Копаевич, Д. А. Нетреба, Е. А. Краснова // *Стратиграфия. Геологическая корреляция*. – 2022. – Т. 30. – № 3. – С. 41-61. doi:10.31857/S0869592X22030061 (**1,6 п.л., авторский вклад 25%**). Импакт фактор 1,418 (РИНЦ). EDN: LQAOTR
18. Яковишина, Е. В. О границе туронского и коньякского ярусов Северо-Западного Кавказа / Е. В. Яковишина, С. И. Бордунов, Л. Ф. Копаевич, Е. А. Краснова, Д. А. Нетреба // *Вестник Московского университета. Серия 4: Геология*.

– 2022. – Т. 4. – С. 34-42. doi:10.3103/S0145875222050179 (**0,7 п.л., авторский вклад 25%**). Импакт фактор 0,301 (РИНЦ). EDN: QTVSOD

19. Карпова, Е. В. Гидротермально-метасоматические системы как важнейший фактор формирования элементов нефтегазоносного комплекса в баженовско-абалакских отложениях / Е. В. Карпова, А. О. Хотылев, Е. А. Мануилова, А. А. Майоров, **Е. А. Краснова**, О. В. Хотылев, Н.С. Балушкина, Г.А. Калмыков, А. Г. Калмыков // *Георесурсы*. – 2021. – Т. 23. – № 2. – С. 142-151.doi:10.18599/grs.2021.2.14 (**0,9 п.л., авторский вклад 25%**). Импакт фактор 0,5 (JIF). EDN: YRMLDU

20. Большаякова М. А. Информационная значимость геохимических и гидрогеологических данных в нефтегазовой геологии / М. А. Большаякова, А. В. Корзун, А. В. Ступакова, Р. С. Сауткин, А. Г. Калмыков, Э. А. Абля, **Е. А. Краснова**, Н. А. Харитонова, М. С. Тихонова, Е. В. Козлова, И. А. Санникова, Т. А. Рязанова, И. Ю. Белкин. // *Георесурсы*. – 2021. – Т. 23, № 2. – С. 214-220. doi: 10.18599/grs.2021.2.21 (**0,7 п.л., авторский вклад 20%**). Импакт фактор 0,5 (JIF). EDN: AISKFQ

21. **Краснова, Е.А.** Геологическое строение и палеогеографическая зональность хадумского горизонта Предкавказского региона / Е. А. Краснова, А. В. Ступакова, А. Н. Стafeев, Н. П. Фадеева, Н. Ш. Яндариев, А. А. Суслова, Р. С. Сауткин, М. Е. Воронин, П. Б. Степанов, А. А. Книппер, Я. А. Шитова // *Георесурсы*. – 2021. – Т. 23. – № 2. – С. 99-109.doi:10.18599/grs.2021.2.9 (**0,8 п.л., авторский вклад 60%**). Импакт фактор 0,5 (JIF). EDN: OXSBXY

22. Суслова, А. А. Характеристики нефтегазоматеринских толщ баренцево-Карского региона - основа бассейнового анализа и прогноза ресурсов / А. А. Суслова, А. В. Ступакова, А.В. Мордасова, М. А. Большаякова, Р. С. Сауткин, **Е. А. Краснова**, К. О. Осипов, Т.О. Колесникова, С.О. Ковалевская, А.А. Гильмуллина, К. Эйде, Т. Клаусен // *Деловой журнал Neftegaz.RU*. – 2021. – Т. 2. – № 110. – С. 64-71. (**0,5 п.л., авторский вклад 30%**). Импакт фактор 0,309 (РИНЦ). EDN: LVZXUV

23. **Краснова, Е. А.** Изотопно-геохимические особенности распределения газообразных углеводородов в разрезе баженовской свиты (южная часть Западной Сибири) / Е. А. Краснова, А. Ю. Юрченко, А. Г. Калмыков, М. М. Фомина // *Георесурсы*. – 2019. – Т. 21. – № 2. – С. 153-158. doi:10.15372/gig2020139 (**0,6 п.л., авторский вклад 60%**). Импакт фактор 0,5 (JIF). EDN: LGVBNW

24. Аветов, Н. Р. О возможных причинах и природе газовыделений вокруг газовых и газоконденсатных скважин на территории Ямбургского нефтегазоконденсатного месторождения / Н. Р. Аветов, **Е. А. Краснова**, В. С. Якушев // *Научно-технический сборник Вести газовой науки*. – 2018. – Т. 33. – № 1. – С. 33-40. (**0,6 п.л., авторский вклад 30%**). Импакт фактор 0,490 (РИНЦ). EDN: XTDJRB

25. Аветов, Н. Р. Некоторые особенности приустьевых газопроявлений из интервала криолитозоны на территории Ямбургского нефтезаконденсатного месторождения / Н. Р. Аветов, **Е. А. Краснова**, В. С. Якушев // *Газовая*

промышленность. – 2017. – Т. 8. – № 756. – С. 44-47. (**0,3 п.л., авторский вклад 30%**). Импакт фактор 0,242 (РИНЦ). EDN: ZEMTUT

Иные публикации

26. Malakhova T.V. Passive acoustic monitoring for seabed bubble flows: Case of shallow methane seeps at Laspi Bay (Black Sea) / T.V. Malakhova, A.A. Budnikov, I.N. Ivanova, A.I. Khurchak, A.P. Khurchak, **E.A. Krasnova** // *Journal of the Acoustical Society of America*. - 2024. – Vol. 156. – № 6. - Р. 4202-4216. doi:10.1121/10.0034605 (**1,2 п.л., авторский вклад 20%**). Импакт фактор 0,5 (JIF). EDN: RSFLFL

Главы в книгах и монографиях

27. Ступакова А.В. Институт перспективных исследований нефти и газа МГУ имени М.В. Ломоносова. Приоритетные направления деятельности / А. В. Ступакова, Г.А. Калмыков, Р.С. Сауткин, А.А. Суслова, М.А. Больщакова, М.Е. Воронин, Р.М. Гилаев, А.П. Завьялова, А.Г. Калмыков, М.Ю. Карпушин, А.В. Корзун, Н.И. Коробова, **E.A. Краснова**, О.В. Крылов, М.В. Малых, А.В. Мордасова, Д.О. Смирнова, В.В. Чупахина, Н.С. Шевчук // *Издательский дом Недра, Москва*. – 2025. – С. 44 (**2,1 п.л., авторский вклад 15%**)

28. Ступакова А.В. Атлас. Палеобассейны. История развития осадочных бассейнов и их нефтегазоносность / А. В. Ступакова, О.В. Бакуев, А.П. Завьялова, А.А. Суслова, В.А. Никишин, Н.И. Коробова, В.В. Волянская, В.В. Чупахина, О.В. Желанова, Р.С. Сауткин, Р.М. Гилаев, А.С. Агаян, Т.О. Колесникова, М.А. Больщакова, Н.С. Курдина, **E.A. Краснова** // *Издательский дом Недра, Москва*. – 2024. – С. 220 (**25,5 п.л., авторский вклад 10%**).

29. Pavlov, V. E. New Carbon-Isotope, Conodont, and Magnetostratigraphic Data from the Key Kulyumbe River Section (NW Siberia) and the Problem of Location of the Cambrian-Ordovician Boundary on the Siberian Platform / V. E. Pavlov, A. V. Dronov, T. Y. Tolmacheva, **E. A. Krasnova**, A. N. Larionov // *Recent Research on Sedimentology, Stratigraphy, Paleontology, Geochemistry, Volcanology, Tectonics, and Petroleum Geology : in 2 vols.* / publisher: Springer, 2024. – Vol. 2. – С. 261 doi:10.1007/978-3-031-48758-3_12 (**0,2 п.л., авторский вклад 25%**).